



معاونت اکتشاف  
مدیریت خدمات اکتشاف

**گروه ژئوفیزیک**

اکتشاف ژئوفیزیکی سولفاتهای شورابه ای در منطقه گاوخونی  
اصفهان به روش گرانی سنجی و مقاومت ویژه الکتریکی

توسط :  
فیروز جعفری

ناظر علمی : شهریار جوادی پور

سال ۱۳۸۶

## فهرست مطالب

### فصل اول

#### " کلیات "

۱.	۱-۱- مقدمه :
۲.	۱-۲- موقعیت جغرافیایی و راههای ارتباطی.
۳.	۱-۳- زمین شناسی منطقه
۴.	
۵.	۱-۴- هدف از انجام مطالعات ژئوفیزیک

### فصل دوم

#### (( تئوری روشهای ژئوفیزیک ))

۱.	۱-۱- اصول و کاربرد گرانی سنگی
۱۰.	۱-۱-۱- مراحل مطالعات گرانی سنگی
۱۰.	۱-۱-۲- معرفی دستگاه اندازه گیری
۱۲.	۱-۱-۳- نحوه پیمایش و اندازه گیری
۱۵.	۱-۱-۴- تصحیح و پردازش اطلاعات گرانی سنگی
۱۶.	۱-۱-۴-۱- تصحیح دریفت روزانه :
۱۷.	۱-۱-۴-۲- تصحیح هوای آزاد
۱۸.	۱-۱-۴-۳- تصحیح بوگر
۲۰.	۱-۱-۴-۴- تصحیح زمینگان (Terrain)
۲۱.	۲-۱- روش مقاومت سنگی
۲۲.	۲-۱-۱- آرایش های مورد استفاده در مقاومت سنگی
۲۲.	۲-۱-۲- آرایش شلومبرژ
۲۳.	۲-۱-۲-۱- آرایش ونر

### فصل سوم

#### بررسی نتایج

۱-۳-۱.	۱-۳-۱- مطالعات ژئوفیزیک در غرب تالاب گاوخونی
۲۶.	۱-۳-۲- پروفیل شماره ۱
۲۸.	۱-۳-۳- شبه مقطع ژئوکتریک بر روی پروفیل شماره ۱
۳۰.	۲-۱-۱- شبه مقطع ژئوکتریک بر روی پروفیل شماره ۱
۳۳.	۲-۱-۲- پروفیل شماره ۲
۳۵.	۲-۱-۳- مطالعات ژئوفیزیک واقع در جنوب تالاب گاوخونی
۳۶.	۲-۱-۳-۱- برسی آرایش های شلومبرژ
۳۹.	۲-۱-۳-۲- برسی آرایش های ونر
۴۳.	۲-۱-۳-۳- نتیجه گیری
۴۵.	۲-۱-۳-۴- تشریف و قدردانی
۴۶.	۳- اطلاعات صحرایی ژئوفیزیک

## فصل اول

### "کلیات"

۱-۱- مقدمه :

پیرو درخواست معاونت امور اکتشاف سازمان زمین شناسی و اکتشافات معدنی

کشور به تاریخ فروردین ماه ۱۳۸۶ مبنی بر انجام عملیات ژئوفیزیکی در منطقه گاو خونی

اصفهان ، طی احکام شماره ۵۲۱ و ۲۵۲ اکیپ ژئوفیزیک سازمان زمین شناسی

واکتشافات معدنی کشور در ۲ ماموریت ۲۰ روزه در اردیبهشت و خرداد ماه ۸۶ به

سرپرستی اینجانب به منطقه عزیمت نمود .

در این ماموریت ، آقایان ابراهیم ترک و حسین ایرانشاهی به عنوان تکنیسین حضور داشتند و

جمعاً "تعداد ۱۰۶ ایستگاه توسط روش گرانی سنجی برداشت گردید. همزمان با انجام برداشت‌های

گرانی سنجی با استفاده از آرایش شلومبرژه بر روی پروفیل اول ۸۲۰ نقطه با استفاده از روش

الکتریک برای اندازه گیری مقاومت ویژه ظاهری لایه‌ها اندازه گیری شده است . در محدوده دوم

نیز جمعاً ۲۵۰ ایستگاه با استفاده از آرایش شلومبرژه و حدود ۳۰۰ ایستگاه با استفاده از آرایش ونر

اندازه گیری شد.

لازم به توضیح است مطالعات ژئوفیزیک در دو محدوده مجزا صورت گرفته که اولی در

غرب حوضه و دومی در جنوب حوضه بوده است.

### ۱-۲- موقعیت جغرافیایی و راههای ارتباطی

تالاب یا باطلاق گاوخونی موسوم به پلایای ورزنه یکی از پلایاهای حوضه آبگیر اصفهان و مصب رودخانه زاینده رود دارای وسعتی حدود ۵۵۰ کیلومتر مربع می باشد.و یکی از فروزنگیهای سیرجان \_ اصفهان بشمار میاید.در قسمت شمالی دریاچه ای فصلی و کم عمق وجود دارد و بخش جنوبی پوسته نمکی همراه با شورابه بین کریستالی وجود دارد.و سعت دریاچه بستگی به میزان شارژ آب در سالهای مختلف دارد.تالاب گاوخونی بین طول جغرافیایی  $53^{\circ}$  و  $52^{\circ}$  و عرض جغرافیایی  $32^{\circ}$  و  $45^{\circ}$  قرار گرفته است.ارتفاع آن از سطح دریا حدود ۱۴۴۰ متر است. این تالاب در شرق ناحیه جرقویه اصفهان و جنوب غربی شهرستان نایین و غرب منطقه ندوشن استان یزد و شمال غربی قرار گرفته است.



شکل ۱- راه دسترسی به محدوده مورد مطالعه

### ۱-۳-زمین شناسی منطقه<sup>۱</sup>

در نقشه های توپوگرافی، تالاب گاوخونی به شکل یک گلابی از شمال به جنوب ترسیم شده که نوک آن در قسمت سیاه کوه و قسمتهای عریض در نواحی جنوبی واقع گردیده است. در وسیع ترین قسمت عرض آن حدود ۲۰ کیلومتر و طولش کمی بیش از ۲۵ کیلومتر است. در حاشیه غربی آن تپه های شنی روان (ماسه های بادی) بطول ۴۵ کیلومتر از جنوب شرق ورزنه تا چند کیلومتری جنوب شرق مالواجد ادامه دارد. ارتفاع این ماسه بادی ها در بلند ترین نقطه ۱۶۰۷ متر از سطح آبهای آزاد میباشد. در حواشی شمالی، شرقی و جنوبی واحدهای ژئومورفولوژی نظیر معخروطهای افکنه، دشت های سیلانی، جلگه های رسی، مناطق مرطوب و پوسته های نمکی را میتوان نام برد.

تالاب گاوخونی یک حوضه بسته رسوبی است که در آن رسوبات کواترنر نظیر گراول، ماسه، سیلت، رس لجن، مارن، گچ و نمک ..... پر شده و هم اکنون نیز در حال رسوبگذاری است.

آبراهه ها، سیلانها، و رودخانه های متعدد فصلی و دائمی به این حوضه سرازیر میشوند که مهمترین آنها زاینده رود است. این زهکشها املاح، کاتیون و آئیونهای سنگهای خروجی، نفوذی و رسوبی .... سازندهای مختلف را همراه خود به محیط حمل مینمایند.

از نظر زمین شناسی ساختمانی و نحوه تشکیل، تالاب گاوخونی قسمتی از فروافتادگی تکتونیکی مهم سیرجان - اصفهان، که بیش از ۶۰۰ کیلومتر طول دارد و کم و بیش بموازات روراندگی زاگرس است، بشمار می آید.

در محدوده تالاب ناحیه ای به وسعت ۱۳۰ کیلومتر مربع در قسمت جنوب باطلاق دارای پوسته نمکی میباشد. پوسته نمکی در قسمت شمالی خود با چاله مرکزی و دریاچه فصلی در ارتباط بوده و در قسمت های شرقی و جنوبی به نواحی مرطوب، کله رسی و شنهای رسی و تراس همراه با آبراهه ها و مسیلهای مختلف و

<sup>۱</sup> گزارش اکتشافات نیمه تفصیلی شورابه پتانس دار مردانه گاوخونی - سرمد روزبه کارگر - ۱۳۷۱

در سمت غرب ابتدا ناحیه مرطوب و بعد کفه ماسه ای نمکی و سپس تپه های ماسه بادی محدود شده است. ضخامت این پوسته نمکی متفاوت است به طوریکه در حاشیه های جنوبی، شرقی و غربی کمتر از ۵ سانتی متر و بعد از آن به طرف مرکز ضخامت بیشتر میشود و به بیش از ۱ متر میرسد. در زیر این پوسته نمکی یک واحد ماسه بادی آبدار به ضخامت متوسط ۱۰ متر در حفاریها یده شده که احتمالاً در زیر بخش زیادی از پوسته نمکی گسترش دارد.

پوسته نمکی در سطح ظاهری بصورت چندوجهی های نامنظم است که بدليل آبدار بودن و پیشروی و پسروی آب، پوسته کاملاً خشک نمیشود. نحوه تشکیل نمک به این صورت است که در موقع سیلابی سطح منطقه پوشیده از آب و گل ولای میشود و لجن سیاه رنگ رسی را از خود برجا میگذارد که در فصول گرم و خشک تحت تاثیر تبخیر شدید نمک با ضخامتهای مختلف ته نشین میگردد. این نمک قابل استخراج بوده و در بخش‌های غربی و جنوبغربی به علت شیب منطقه گسترش بیشتری داشته و هم اکنون استخراج میشود.

#### ۱-۴- هدف از انجام مطالعات ژئوفیزیک

هدف از انجام مطالعات ژئوفیزیک یافتن محلهایی است که میتواند از نظر تمرکز کانی های سولفات سدیم مناسب باشد. در این رابطه توجه به نکات و موارد زیر حائز اهمیت میباشد:

حجم ماده معدنی مورد کاوش باید به اندازه‌ای باشد تا خصوصیات فیزیکی آن قابل تمایز -

با خصوصیات تشکیلات در بر گیرنده آن باشد.

داشتن اختلاف خصوصیت فیزیکی<sup>۱</sup> مناسب با تشکیلات در بر گیرنده -

پوشیده نشدن<sup>۱</sup> خصوصیات فیزیکی ماده معدنی مورد کاوش توسط دیگر خصوصیات فیزیکی تشکیلات در بر گیرنده. -

Contrast<sup>۱</sup>

بدین منظور ابتدا به شناسایی خصوصیت فیزیکی سولفات سدیم میپردازیم.

سولفات سدیم بصورت کانیهای تاریخی و میرabilite در طبیعت یافت میشوند. که البته معمولاً تاریخی با جذب آب در طبیعت بیشتر بصورت میرabilite ظاهر میشود. هر دو این کانیها به دو صورت محلول و متبلور در طبیعت یافت میشوند. بخصوص میرabilite متبلور دارای وزن مخصوصی در حدود  $1/47$  گرم بر سانتیمتر مکعب میباشد و از نظر مقاومت ویژه الکتریکی مقاومتی بیش از نمک و محلولهای شورابه ای اطراف خواهد داشت.

در زیر برخی از خصوصیات کانی میرabilite را مشاهده میفرمایید.

#### General Mirabilite Information

- Chemical Formula:
- Composition:

<chem>Na2SO4·10(H2O)</chem>
Molecular Weight = 322.20 gm
Sodium 14.27 % Na 19.24 % <chem>Na2O</chem>
Hydrogen 6.26 % H 55.91 % <chem>H2O</chem>
Sulfur 9.95 % S 24.85 % <chem>SO3</chem>
Oxygen 69.52 % O
100.00 %
100.00 % = TOTAL OXIDE

- Empirical Formula:
- Environment:
- IMA Status:
- Locality:
- Name Origin:
- Synonym:

Na2(SO4)·10(H2O)  
 Saline mineral deposited from sodium sulfate-chloride brines.  
 Valid Species (Pre-IMA) 1845  
 Link to [MinDat.org](#) Location Data.  
 Named after the Latin, sal mirabile Glauberi - "Glauber Salt."  
 Glauber Salt  
 ICSD 30505  
 PDF 11-647

#### Mirabilite Image

- Images:



**Mirabilite**

**Comments:** Colorless grains and indistinct crystals of mirabilite. The mineral dehydrates quickly in dry air and must be preserved in a closed box.

**Location:** Willi Agatz Mine, Dresden, Saxony, Germany. **Scale:** Picture size 4 mm.

© Thomas Witzke / Abraxas-Verlag

#### Mirabilite Crystallography

- Axial Ratios:
- Cell Dimensions:
- Crystal System:

a:b:c = 1.2386:1:1.1091  
 a = 12.82, b = 10.35, c = 11.48, Z = 4; beta = 107.66° V = 1,451.46 Den(Calc) = 1.47  
**Monoclinic - Prismatic** H-M Symbol (2/m) Space Group: P 2<sub>1</sub>/a

بنابر این با توجه به توضیحات فوق از دو روش ژئوفیزیکی که عبارتند از روش گرانی سنجی و روش ژئوالکتریک استفاده نمودیم.

در مطالعه گرانی سنجی به دنبال مناطقی خواهیم بود که به دلیل تمرکزی از این کانی‌ها بخصوص بصورت متبلور وزن مخصوص کمتری را نسبت به سایر مناطق در برگیرنده شاهد باشیم.

برداشتهای ژئوالکتریک نیز با هدف پیدا کردن لایه‌هایی با مقاومت بیشتر در بین لایه‌های رس و مارن که میتواند معرف وجود تمرکزی مشخص از وجود سولفات‌های سدیم به صورت لایه‌ جداگانه و متبلور در بین لایه‌های رس و مارنی که دارای مقاومت ویژه ظاهری کمتر هستند، صورت پذیرفت.

## فصل دوم

### ((تئوری روشاهای ژئوفیزیک))

در این فصل تئوری روشاهای ژئوفیزیکی بکاررفته در منطقه اکتشافی به شرح زیر توضیح

داده می شود.

### ۱-۱- اصول و کاربرد گرانی سنجی<sup>۱</sup>

گرانی سنجی روشی است که در آن میدان گرانش یا جاذبه زمین اندازه گیری می شود. اصول کار دستگاه گرانی سنج یا به بیانی گراویتی متر بر اصل قانون جاذبه نیوتون استوار است. بطور اختصار ساختمان دستگاه گراویتی متر از یک فنر حساس و یک وزنه که مجموعاً در محفظه ای خالی از هوا و در محیط خلاء قرار گرفته تشکیل شده است. تمام اجرام پیرامون وزنه دستگاه طبق قانون نیوتون نیروی جاذبه ای مطابق با فرمول زیر بر آن وارد می‌سازد:

$$F=K \cdot m/r^2$$

که در آن  $F$  نیروی جاذبه بر حسب نیوتون ،  $m$  جرم بر حسب کیلو گرم ،  $r$  فاصله جرم با مرکز کره زمین و  $K$  ضریب ثابت است.

با این ترتیب هنگام اندازه گیری یک ایستگاه توسط گراویمتر در واقع برآیند نیروهای بسیاری از قبیل جرم موجود در زیر دستگاه ، جرم موجود در اطراف ایستگاه و حتی اثر جاذبه کره ماه بر دستگاه (اثر جذر و مدار) را اندازه گیری مینماییم . با استفاده از محاسبات ریاضی میتوان اثر هر یک از نیروها را بر وزنه دستگاه گراویمتر محاسبه نمود.

مهمنترین نیروهای موثر بر دستگاه گراویمتر عبارتند از:

<sup>۱</sup> مطالعات نقل سنجی بر رویاندیس کرومیت احمدآباد هرمزگان- جوادی پور - ۱۳۸۲

- اثر نیروی جاذبه کره ماه (اثر جذر و مد)

- فاصله ارتفاعی دستگاه گراویمتر از سطح دریا یا سطح ژئوئید یا سطح هوا (اثر هوای آزاد)

- اثر برایند نیروی گریز از مرکز و جاذبه زمین (اثر عرض جغرافیایی)

- اثر جرم موجود یا غیر موجود در زیر دستگاه (اثر بوگر)

- اثر ایزوفستازی

- اثر جرم کوهها و نبود جرم کوهها (دره ها) در اطراف دستگاه گراویمتر (اثر توپوگرافی)

- اثر خطای فیزیکی داخل دستگاه مربوط به کشش فنر (اثر دریفت)

**مطالعات گرانی سنجی** بطور کلی به دو منظور مختلف انجام میشود. بعضی از مطالعات گرانی سنجی

به منظور مطالعات زمین شناختی در مقیاسهای کوچک و ابعاد وسیع به منظور تعیین طاقدیسهای وناودیسهای

بزرگ، شکل و ضخامت پوسته کره زمین و این قبیل مطالعات انجام میگیرد که معمولاً مقیاس چنین مطالعاتی

۱:۵۰۰۰ یا کوچکتر خواهد بود. در این نوع مطالعات میباشد اثر تمامی نیروهای یاد شده را محاسبه نمود.

برخی مطالعات گرانی سنجی به منظور اکتشاف مواد معدنی صورت میگیرد، در این قبیل مطالعات مقیاس از

۱:۵۰۰۰ ۱:۲۰۰۰۰، ۱:۵۰۰۰، ۱:۱۰۰۰ و گاه ۱:۵۰۰ میباشد. بدیهی است در این گونه

مطالعات اثرات ایزوفستازی و اثر عرض جغرافیایی برای تمامی ایستگاههای اندازه گیری بسیار جزیی و قابل

صرف نظر خواهد بود. در خصوص نحوه محاسبه هر یک از اثرات یاد شده در همین فصل توضیحات لازم داده

خواهد شد.

اصول کار در مطالعات گرانی سنجی به منظور اکتشافات معدنی اغلب تعیین چگالی در منطقه مورد

مطالعه است. برای حصول چنین امری میباشد اثر کلیه نیروهای موثر بر دستگاه را محاسبه و تفکیک نمود،

این کار که به تصحیحات گرانی سنجی موسوم است میباشد برای هر یک از ایستگاهها جداگانه محاسبه

گردد. با حذف نیروهای مزاحم و یا اضافه نمودن نیروهای لازم بر حسب میلی گال به اعداد اندازه گیری شده به هر ایستگاه سرانجام تغییرات نیروی جاذبه بر اثر تغییرات چگالی تشکیلات زمین شناسی در منطقه بدست میاید. بدیهی است وجود نقشه زمین شناسی منطقه با مقیاس مناسب قبل از مطالعات گرانی سنجدی بسیار لازم و ضروری است و عملیات ژئوفیزیک میتواند به حل ابهامات مسائل زمین شناسی و معدنی در لایه های زیر سطحی که امکان رویت آن در سطح توسط زمین شناسان میسر نیست کمک نماید. (از قبیل گسلهای مدفون در زیر آبرفت، گسترش مواد معدنی زیر سطحی و ...)

### ۱-۱-۳- مراحل مطالعات گرانی سنجدی

مراحل مطالعات گرانی سنجدی به شرح زیر میباشد:

- عملیات نقشه برداری به منظور تعیین مختصات دقیق هر ایستگاه در سیستم UTM و تعیین دقیق ارتفاع نقاط در حد سانتیمتر.
- اجرای برداشت‌های صحرائی بر روی ایستگاههای گرانی سنجدی.
- اعمال تصحیحات لازم و پردازش اطلاعات خام گرانی.
- تعبیر و تفسیر نتایج بدست آمده.

### ۲-۱-۲- معرفی دستگاه اندازه گیری

دستگاه اندازه گیری مورد استفاده در این مطالعات، دستگاه گرانی سنجد CG3 Autograv مدل Scintrex بود. از مهمترین خصوصیات این دستگاه می‌توان به موارد زیر اشاره نمود:

- دقیق اندازه گیری تا ۰/۰۰۵ میلی گال.

- داری حافظه‌ای از نوع Solid State به ظرفیت ۴۸ کیلوبایت جهت ثبت میزان گرانی اندازه گیری شده

در هر ایستگاه به همراه بسیاری از اطلاعات جانبی مورد نیاز از قبیل شماره خط ، شماره ایستگاه ، ساعت ،

دقیقه و ثانیه اندازه گیری ، تاریخ ، ارتفاع دستگاه تاسطح تراز یابی شده هر ایستگاه ، طول و عرض جغرافیائی

، میزان تصحیح جزر و مدو سایر اطلاعات جانبی دیگر.

- دارای برنامه نرم افزاری جهت تصحیح خود کار اثر جزر و مدو در هر ایستگاه همزمان با اندازه گیری در آن

ایستگاه.

- دارای ضریب دریفت به منظور تصحیح خطای ناشی از دریفت دستگاه و در نتیجه عدم اعمال خطای

دریفت در اندازه گیریها بصورت دستی.

- صفحه نمایشگر LCD جهت رویت اعداد اندازه گیری شده ، شماره ایستگاه ، شماره خط و ...

- تعویض شماره هر ایستگاه به طور خودکار پس از اندازه گیری ایستگاه قبلی ، این امر اشتباہ احتمالی ناشی

از عدم درج صحیح شماره ایستگاه به صورت دستی را به حداقل ممکن کاهش میدهد.

- دارای پورت تخلیه اطلاعات موجود در حافظه به رایانه.

- امکان تنظیم تعداد اندازه گیریهای مورد نیاز در هر ایستگاه . معمولاً دستگاه را برای ۱۲۰ بار اندازه گیری

نیروی جاذبه در هر ایستگاه تنظیم مینمایند.

- تشخیص میزان خطای ممکن در هر قرائت و اعمال آن به اعداد اندازه گیری شده به صورت خودکار.

دستگاه به طور خودکار از تمامی اندازه گیریهای انجام شده در یک ایستگاه معدل گیری نموده و بر اساس

انحراف معیار اعداد اندازه گیری شده نهایتاً یک عدد بعنوان میزان نسبی (نه مطلق) شدت میدان جاذبه زمین

در آن ایستگاه را ثبت مینماید.



تصویر شماره ۱ : نمایی از دستگاه گروایومتر مدل CG3 بر روی سه پایه کوتاه

### ۱-۳-۲- نحوه پیمایش و اندازه گیری

برداشت‌های گرانی سنگی نسبت به سایر برداشت‌های ژئوفیزیکی از پرهزینه‌ترین و درنتیجه گرانترین روش

ژئوفیزیکی به حساب می‌اید. از مهمترین علل آن میتوان به موارد زیر اشاره نمود:

الف - نیاز به عملیات نقشه برداری به منظور تعیین ارتفاع دقیق در حد ۱ سانتی‌متر برای هر ایستگاه و نیز

تهیه نقشه توپوگرافی با مقیاسهای بزرگ (۱:۱۰۰۰ یا حداقل ۱:۵۰۰۰) برای انجام تصحیحات توپوگرافی نزدیک.

ب - گران قیمت بودن دستگاه اندازه گیری .

ج - راندمان بسیار پایین نسبت به سایر روش‌های ژئوفیزیک به دلیل حساسیت دستگاه و تغیرات جزئی

میدان جاذبه و در نتیجه نیاز به اعمال دقت بسیار بالا هنگام اندازه گیریهای صحرائی.

برای حصول اطمینان از دقت کار علاوه بر اینکه خود دستگاه در هر ایستگاه بین ۵۰ تا ۱۲۰ بار اندازه گیری مینماید مع الوصف حداقل ۳ بار و گاه ۶ تا ۷ بار مجدداً این دوره ۵۰ تا ۱۲۰ بار اندازه گیری را تکرار مینماییم از سوی دیگر موقعیت هر ایستگاه نیز در سیستم مختصات UTM تعیین میگردد به گونه‌ای که هر ایستگاه علاوه بر مشخصات قراردادی شبکه (شماره خط و شماره ایستگاه) دارای مختصات X، Y و Z خواهد بود.

قبل از شروع اندازه گیری میبایست :

الف - از تنظیم بودن دستگاه (نداشتن دریفت طی ۲۴ ساعت) اطمینان حاصل کرد.

ب - تعیین ایستگاهی در منطقه بعنوان ایستگاه ثابت جهت کنترل دریفت دستگاه حین برداشت‌های صحرائی. در مورد اول ابتدا طول و عرض جغرافیایی منطقه و اختلاف ساعت محلی با گرینویچ (۳/۵) ساعت و تاریخ و ساعت و دقیقه و ثانیه را دقیقاً به دستگاه گراویتی متر وارد مینماییم ، سپس محلی را در کمپ بدور از تردد و لرزش انتخاب مینماییم و دستگاه را حول محور X و Y کاملاً تراز نموده و در حالت ایستگاه ثابت (Cycling Mode ) قرار داده و دستگاه را به گونه‌ای تنظیم مینماییم که هر پانزده دقیقه یکبار به طور خود کار روشن و شروع به اندازه گیری نماید . با توجه به اینکه تصحیح جذر و مد نیز برای هر اندازه گیری انجام میگیرد لذا اختلاف اعداد اندازه گیری شده طی ۲۴ ساعت بر روی یک ایستگاه نباید از  $\pm 0.03$  میلی گال تجاوز نماید. چنانچه اختلاف اولین و آخرین قرائت طی ۲۴ ساعت بیش از حد مجاز بود میبایست با استفاده از فرمول ویژه‌ای ضریب دریفت جدید رامحاسبه و اعمال نمود و مجدداً ۲۴ ساعت دیگر دستگاه را

تست نمود، گاه برای تنظیم دقیق دستگاه تا سه روز نیز زمان سپری خواهد شد اما به هر حال باید توجه داشت

هیچگاه نباید با دریفت غیر مجاز شروع به برداشتهای صحرائی نمود.

در مورد دوم هر چقدر دستگاه در حالت ثابت دقیق اندازه گیری نماید باز هم هنگام برداشتهای

صحرائی عواملی نظری حمل و نقل ، ضربه های غیر پیش بینی شده ، اختلاف حرارت در طول روز ، تغییر فشار

هوا در اثر تغییرات ارتفاعی دستگاه و ... سبب بروز خطای گاه بیش از حد استاندارد میشود. بنا بر این

ایستگاهی بعنوان مبنای جهت کنترل دریفت دستگاه در منطقه مورد مطالعه احداث گردد . این دستگاه باید از

هر حیث کاملا آرام باشد. در جای کم رفت و آمد و بدور از اغتشاشات اطراف ، معمولا این ایستگاه را یا با

بن ریزی و یا بر روی تخته سنگهای ریشه دار منطقه انتخاب میکنند.

ارتفاع کف دستگاه گراویتی متر تا سطح فوقانی ایستگاه مبنای را با متر به طور دستی اندازه گیری

میکنیم و در هر بار که به این ایستگاه مراجعه میکنیم میبایست ارتفاع کف دستگاه با سطح ایستگاه مبنای را

مجددا کنترل کنیم و دستگاه را به گونه ای تراز کنیم که ارتفاع مذکور ثابت بماند.

پس از انجام مراحل فوق کار اندازه گیری ایستگاههای شبکه شروع میگردد ، معمولا در شبهای تند از

سه پایه بلند در شبهای ملايم از سه پایه کوتاه استفاده میگردد . پس از استقرار سه پایه بر روی ایستگاه و

استقرار دستگاه گراویتی متر بر روی سه پایه ، دستگاه توسط پیچهای سه پایه حول محور X و Y در

محدوده بین  $10 \pm 10 \text{ arc.sec}$  کاملا تراز میشود آنگاه با کنترل شماره ایستگاه و شماره خط اندازه گیری آغاز

میگردد ، سپس ارتفاع کف دستگاه را تا روی میخ ایستگاه با متر و به صورت دستی با دقت  $5/0 \pm 0.5 \text{ سانتیمتر}$

اندازه گیری نموده و به همراه عدد گراویتی اندازه گیری شده در آن ایستگاه به حافظه دستگاه میسپاریم.

در طول یک روز برداشتهای صحرائی میبایست حداقل چهار بار به ایستگاه مبنای مراجعه و دریفت دستگاه را

کنترل نمود. ابتدا صبح قبل از شروع برداشت صحرائی اندازه گیری بر روی ایستگاه ثابت انجام میگیرد و

چنانچه مقدار گرانی نسبت به روز قبل کمتر بود ضریب دریفت را به مقدار مناسب کاهش و چنانچه بیشتر بود

ضریب دریفت را به مقدار مناسب افزایش میدهیم. به هر حال همواره قبل از شروع هر برداشت صحرائی

میایست با تغییر ضریب دریفت میزان عدد گرانی در ایستگاه ثابت را در محدوده ای با  $0.03 \pm$  میلی گال

خطا ثابت نگاه داشت. پس از پایان برداشتهای صحرائی، مجدداً ایستگاه ثابت اندازه گیری خواهد شد.

اگر در پایان هر دوره برداشتهای صحرائی میزان دریفت از  $0.03$  میلی گال بیشتر یا کمتر بود میایست

میزان دریفت با توجه به کل مدت زمان برداشتهای صحرائی و ساعت اندازه گیری بر روی ایستگاهها،

محاسبه و سرشکن گردد، چنانچه میزان دریفت از  $0.08 \pm$  بیشتر باشد کلیه برداشتهای صحرائی آن روز تکرار

میگردد.

در پایان هر روز برداشتهای صحرائی، اطلاعات موجود در حافظه دستگاه توسط رابط RS232 و

نرم افزار مخصوص به رایانه انتقال می یابد و حافظه دستگاه پاک میگردد تا برای برداشتهای روز بعد آماده

باشد. هر روز یک یا دو ایستگاه از روز قبل را نیز به منظور کنترل دقیق‌تر اندازه گیری مینماییم.

#### ۱-۴-۲- تصحیح و پردازش اطلاعات گرانی سنجی

همانگونه که در ابتدای این فصل در بخش ۱-۲ اشاره شد نیروهای جاذبه متعددی بصورت مثبت یا

منفی در هر ایستگاه بر وزنه دستگاه گراویتی متر اثر میگذارند. در این منطقه با توجه به ابعاد نسبتاً کوچک

محدوده مورد مطالعه از انجام تصحیحات عرض جغرافیائی و تصحیح اثر ایزوستازی صرف نظر میگردد.

تصحیحات انجام شده بر روی اعداد قرائت شده توسط دستگاه گراویتی متر بشرح ذیل میباشند:

### ۳-۱-۴-۱- تصحیح دریفت روزانه :

همانگونه که قبل نیز اشاره شد دستگاه گراویتی متر با اعمال ضریبی به نام ضریب دریفت هنگام اندازه گیری هر ایستگاه میزان دریفت ناشی از اثرات فیزیکی وارد بر دستگاه را جبران مینماید ، مع الوصف قبل از هر گونه تصحیحی میایست با کنترل اعداد بدست آمده در ایستگاه مبنای میزان دریفت احتمالی را بررسی نمود و در صورت وجود دریفت بیشتر یا کمتر از  $0.03$  میلی گال از رابطه زیر میزان دریفت را برای ایستگاههای اندازه گیری شده محاسبه و سرشکن نمود:

**الف - محاسبه میزان دریفت :** با تفریق عدد گرانی اندازه گیری شده در ابتدای هر دوره اندازه گیری بر روی ایستگاه ثابت از عدد گرانی اندازه گیری شده در انتهای هر دوره اندازه گیری بر روی ایستگاه ثابت ، میزان دریفت محاسبه میگردد.

**ب - تعیین مدت زمان لازم برای ایجاد  $1/0.01$  دریفت بر حسب دقیقه :** این مدت زمان با تقسیم حاصل ضرب  $0.01$  در کل مدت زمان اندازه گیری بر میزان دریفت بدست خواهد آمد.

**ج - سرشکن نمودن میزان دریفت با توجه به ساعت و دقیقه اندازه گیری در هر ایستگاه.**

یکی از نکات بسیار مهمی که هنگام کار با دستگاه گراویتی متر مدل CG3 باید به آن توجه داشت این است که در تمام مدت مأموریت در یک منطقه پس از تنظیم دریفت دستگاه در روز اول ، هیچگاه نباید دستگاه از منبع تغذیه جدا گردد، به عبارتی همواره باید دستگاه روشن باشد چرا که در غیر اینصورت نه تنها اعداد اندازه گیری دچار شیفت زیاد یا کم خواهند شد بلکه مجددا باید زمانی را صرف تنظیم مجدد ضریب دریفت نمود. در این مرحله و پیش از اعمال تصحیحات دیگر اطلاعات بدست آمده را اصطلاحاً اطلاعات خام یا مشاهده ای می نامند. نکته حائز اهمیت در این قسمت از کار بررسی دقیق اندازه گیری و تصحیح یا حذف خطاهای احتمالی می باشد، چرا که نقشه حاصل از این اطلاعات خام کاملاً منطبق با عکس

توپوگرافی می باشد، بنابراین با تطبیق دو نقشه گرانی مشاهده ای و توپوگرافی میتوان دقیق اندازه گیریها را به راحتی کنترل نمود.

لازم به ذکر است که نقشه توپوگرافی مورد نظر نشانده‌نده توپوگرافی واقعی منطقه نمی باشد بلکه فقط نشانده‌نده توپوگرافی نقاط برداشت گرانی می باشد و به عبارتی در این نقشه عوارض زمین در بین نقاط برداشت محسوب نگردیده است. اصطلاحاً به این نقشه، نقشه توپوگرافی ایستگاههای گرانی سنجی می گویند.

#### ۱-۴-۲- تصحیح هوای آزاد

میزان شدت جاذبه در هر ایستگاه شدیداً متأثر از ارتفاع آن ایستگاه است. از آنجا تیکه بررسیهای گراویتی متری به منظور اکتشاف مواد معدنی صرفاً بررسیهای نسبی بین ایستگاهها میباشدو نه تعیین میزان جاذبه مطلق لذا میتوان به سادگی ارتفاع یکی از ایستگاهها را مبنای قرار داد و اختلاف ارتفاع سایر ایستگاهها را نسبت به آن محاسبه نمود.

از رابطه زیر میزان تصحیح هوای آزاد برای هر یک از ایستگاهها بر حسب میلی گال محاسبه میگردد:

$$g(\text{ free air}) = -0.3086 * \Delta H \quad \Delta H = \text{تغییرات ارتفاع بر حسب متر}$$

میزان تصحیح هوای آزاد برای ایستگاههایی که بالاتر از ایستگاه مبنای قرار دارند افزوده و برای ایستگاههایی که در پایینتر از ایستگاه مبنای قرار دارند کاسته میگردد.

## ۳-۴-۱- تصحیح بوگر

از دیگر تصحیحاتی که بر روی اعداد گرانی انجام میشود، تصحیح بوگر در واقع اثر جرم موجود یا اثر عدم وجود جرم را در حد فاصل ارتفاع ایستگاه تا سطح مبنای محاسبه نماید، میزان این تصحیح بر حسب میلی گال از طریق رابطه زیر حاصل میگردد:

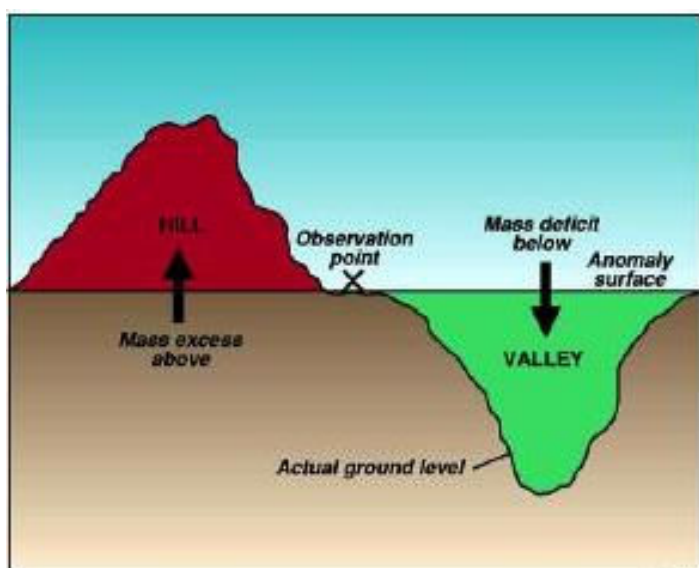
$$g(\text{bouguer}) = 0.0419 * d * \Delta H$$

در این رابطه  $g(\text{bouguer})$  میزان تصحیح بوگر بر حسب میلی گال

$d$  = چگالی بر حسب گرم بر سانتیمتر مکعب

$\Delta H$  = اختلاف ارتفاع ایستگاه تا سطح مبنای بر حسب متر

میزان تصحیح بوگر از مقدار گرانی اندازه گیری شده بر روی ایستگاههایی که بالاتر از ایستگاه مبنای قرار دارند کاهش و به مقدار گرانی اندازه گیری شده بر روی ایستگاههایی که پایینتر از ایستگاه مبنای قرار دارند افزوده میشود.



شکل ۲ : شمایی از اثر کوه و دره بر اندازه گیریهای گراویتی متری

در این تصحیح چگالی یا همان دانسته نقش بسیار مهمی در شکل نقشه ایفا میکند، به عبارتی دیگر هنگامیکه یک چگالی مشخص را به تمام اندازه گیریها نسبت میدهیم در واقع تغییرات چگالی را در سطح منطقه مورد مطالعه نسبت به آن چگالی مشخص خواهیم سنجید ، تغییر چگالی جهت اعمال تصحیح بوگر سبب ایجاد تغییر محسوس در شکل نقشه خواهد شد لذا میایست در تعیین چگالی مناسب جهت انجام تصحیحات بوگر دقت زیاد نمود. عموماً دو راه برای تعیین چگالی وجود دارد . نمونه برداری از واحدهای سنگی و زمین شناسی منطقه و تعیین چگالی دقیق در آزمایشگاه و دیگری از طریق اجرای پروفیل نتلتون .

در این گزارش مناسبترین راه برای تعیین چگالی ، نمونه برداری از واحدهای زمین شناسی تشخیص داده شد . چراکه اجرای پروفیل نتلتون نیاز به شرایط خاص زمین شناسی دارد که از جمله مهمترین آن وجود توپوگرافی در حد متوسط آنچه در منطقه وجود دارد و در عین حال شرایط زمین شناسی هموژن (بدون تغییرات زمین شناسی ) است . چنین شرایطی بطور مطلوب در منطقه وجود ندارد. لذا چگالی بدست آمده جهت اعمال در تصحیح بوگر پس از بررسیهای آزمایشگاهی از نمونهها  $2/5$  گرم بر سانتیمتر مکعب بدست آمد و تصحیحات بر این مبنای صورت گرفته است.

در این مرحله از پردازش اطلاعات پس از تصحیحات هوای آزاد و بوگر ، نقشه بدست آمده را اصطلاحاً نقشه آنومالی بوگر ساده<sup>۱</sup> می نامند.

---

<sup>۱</sup> simple bouger anomaly

### ۳-۱-۴-۴- تصحیح زمینگان (Terrain)

این تصحیح نیز از اهمیت زیادی برخوردار است . معمولا در گذشته تصحیح زمینگان یکی از مشکلترین و وقت گیرترین تصحیحات گروایتی متری بشمار میرفت اما امروزه به کمک برنامه های کامپیوتری میتوان به سرعت این تصحیح را انجام داد . در این رابطه با استفاده از نرم افزار MATLAB برنامه تصحیح زمینگان را با دقت و سرعت بسیار بالائی انجام دادیم. با انجام این تصحیح در واقع اثر نیروی جاذبه (کوهها) یا عدم نیروی جاذبه (دره ها) اطراف ایستگاه گرانی سنجی که بر وزنه دستگاه گروایتی متر وارد می شود را حذف می نماید. بر حسب مقیاس نقشه ، می بایست نقشه توپوگرافی شبکه برداشت گرانی سنجی تا شعاع ۲۰۰ متری فراتر از محدوده شبکه از هر طرف را تهیه و سپس با استفاده از روش هامر میتوان میزان اثرات نیروی جاذبه به وزنه دستگاه تا شعاع ۲۰۰ متری اطراف هر ایستگاه را محاسبه نمود.

بدیهی است که جهت انجام تصحیح مذکور نیاز به دانستن دقیق عوارض زمین می باشد لذا با توجه به شبکه برداشت و نوع بروژه و شدت عوارض زمین نیاز به نقشه برداری دقیق و تهیه نقشه توپوگرافی منطقه با مقیاس ۱/۱۰۰۰ بودیم.

در نهایت و پس از تصحیحات ذکر شده آنچه می ماند نقشه آنومالی بوگر کامل<sup>۱</sup> نام دارد که معرف و نشاندهنده بی هنجاریهای ناشی از تغییرات دانسیتی موجود در منطقه مورد مطالعه می باشد.

---

complete bouger anomaly<sup>۱</sup>

### ۳-۲- روش مقاومت سنجی

همانگونه که قبلاً اشاره شد دریشتر سنگها هدایت جریان الکتریسیته بصورت الکتروولتی توسط مولکولهای سیال موجود درخلل و فرج سنگها و بین دانه ها صورت می گیرد و بنابراین مقاومت ظاهری طبقات زمین تابعی از عواملی چون مواد هادی (آب، مواد رسی، شوری و ...) درجه تراکم، تخلخل و غیره می باشد و با اندازه گیری و تعیین مقدار آن می توان برخی از عوامل زمین شناسی از جمله زون خردشده، گسل، شیب، ساختمان طبقات زیرین و ضخامت رسوبات آبرفت را شناخت. بنابراین با داشتن شدت جریان (I) و اندازه گیری اختلاف پتانسیل با استفاده از دستگاه اندازه گیری می توان مقاومت ظاهری طبقات را از فرمول  $\rho = K\Delta V/I$  محاسبه کرد. K ضربی است که بستگی به وضعیت قرار گرفتن الکتروودها دارد.

دستگاه اندازه گیری مقاومت ویژه ظاهری که در این منطقه بکار رفته است عبارت است از:

ترامتر مدل **SAS300B** سوئی دی که در آن علاوه بر اندازه گیری و حذف پتانسیل خودزا (**SP**) نسبت  $V/I$  مستقیماً اندازه گیری و روی صفحه نمایشگر بصورت رقومی نشان داده می شود. این نحوه عمل دقیق اندازه گیری را بالا برده و خطاهای را به حداقل ممکن می رساند.

پتانسیومتر شامل یک بخش فرستنده میباشد که قادر است تا ۲۰ میلی ولت اختلاف پتانسیل به الکتروودهای جریان اعمال نماید. این پتانسیومتر اغلب به منظور مطالعات مقاومت ویژه بکار میرود. این دستگاه قادر است در مدت زمان معینی که معمولاً برای ۲ ثانیه تنظیم میگردد جریان را از فرستنده دریافت و مقدار اختلاف پتانسیل را در دو سر الکتروودهای پتانسیل بهمراه جریان ایجاد شده ثبت نماید. به این ترتیب مقدار مقاومت ویژه با استفاده از فرمول ساده  $\rho = K\Delta V/I$  قابل محاسبه است.

### ۳-۲-۱-آرایش های مورد استفاده در مقاومت سنجی

#### ۳-۲-۱-۱-آرایش شلومبرگر

عمدتاً در مطالعه سطوح افقی مورد استفاده قرار می‌گیرد، در این روش پس از هر اندازه‌گیری الکترودهای جریان و پتانسیل در همان موقعیت نسبی باقیمانده وكل آنها بطور فزاینده حول یک نقطه مرکزی از هم دور می‌شوند در نتیجه همانطورکه جریان به تدریج به اعماق بیشتر می‌رسد قرائت‌ها انجام می‌گیرد.

در آرایش شلومبرگر فاصله الکترودهای جریان همیشه مساوی یا بزرگتر از ۵ برابر الکترودهای پتانسیل است ( $AB > 5MN$ ) و الکترودهای پتانسیل در میان الکترودهای جریان قرار می‌گیرند (شکل ۲).

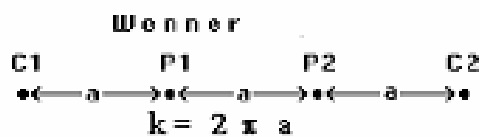
پس از انجام اندازه‌گیری‌های صحرائی و محاسبه  $a$  از رابطه  $K.V/I$  ابتدا نمودار تغییرات مقاومت در مقابل زیاد شدن فاصله الکترودهای جریان یعنی افزایش عمق نشان داده می‌شود. برای اینکار از کاغذهای مخصوص لگاریتمی استفاده می‌شود، بدین ترتیب که مقاومت ظاهری اندازه‌گیری شده روی محور قائم و فاصله  $OA = AB/2$  را روی محور افقی در نظر گرفته و منحنی سوندایز الکتریکی ترسیم می‌گردد که تغییرات این منحنی نشان‌دهنده تغییرات مقاومت در عمق‌های مختلف می‌باشد.



شکل ۳ : آرایش شلومبرگر

## ۳-۲-۱-آرایش و نر

در این آرایش الکترودهای جریان ( $C_1, C_2$ ) و پتانسیل ( $P_1, P_2$ ) بر روی یک خط قرار داشته و الکترودهای گیرنده ( $P_1, P_2$ ) همیشه در وسط الکترودهای جریان ( $C_1, C_2$ ) قرار می‌گیرند. فاصله بین تمامی الکترودها ( $C_1, C_2, P_1, P_2$ ) برابر  $a$  در نظر گرفته می‌شود و در هر اندازه گیری فاصله بین تمامی الکترودها (a) افزایش می‌یابد. با افزایش a عمق جستجو نیز افزایش می‌یابد. اندازه گیری‌ها در این آرایش به نقطه وسط الکترودها نسبت داده می‌شود. شکل ۶ ترتیب الکترودها را در این آرایش نشان می‌دهد.



شکل ۶- ترتیب قرار گرفتن الکترودها در آرایش و نر

عمده ترین ضعف این آرایه گسترش زیاد الکترود ها و زمان زیاد برداشت نسبت به دیگر آرایش های معمول می باشد. عمق جستجو و قدرت سیگنال در این آرایش از آرایه های رایج دیگر بیشتر است، حساسیت این آرایش نسبت به ساختمان های افقی بیشتر است تا ساختمان های عمودی، بنابراین آرایش و نر در به نقشه در آوردن تغییرات عمودی در زیر وسط الکترودها حساسیت خوبی دارد.

### فصل سوم

#### بررسی نتایج

مطالعات ژئوفیزیک در اطراف تالاب گاوخونی در دو بخش اصلی یکی در غرب تالاب و دیگری در جنوب تالاب انجام شد.

در مجموع دو پروفیل گرانی سنجدی و یک شبه مقطع ژئوالکتریک با آرایش شلومبرژه در غرب تالاب و پنج شبه مقطع ژئوالکتریک شامل دو شبه مقطع با آرایش شلومبرژه و سه شبه مقطع با آرایش ونر در جنوب تالاب اجرا گردید.

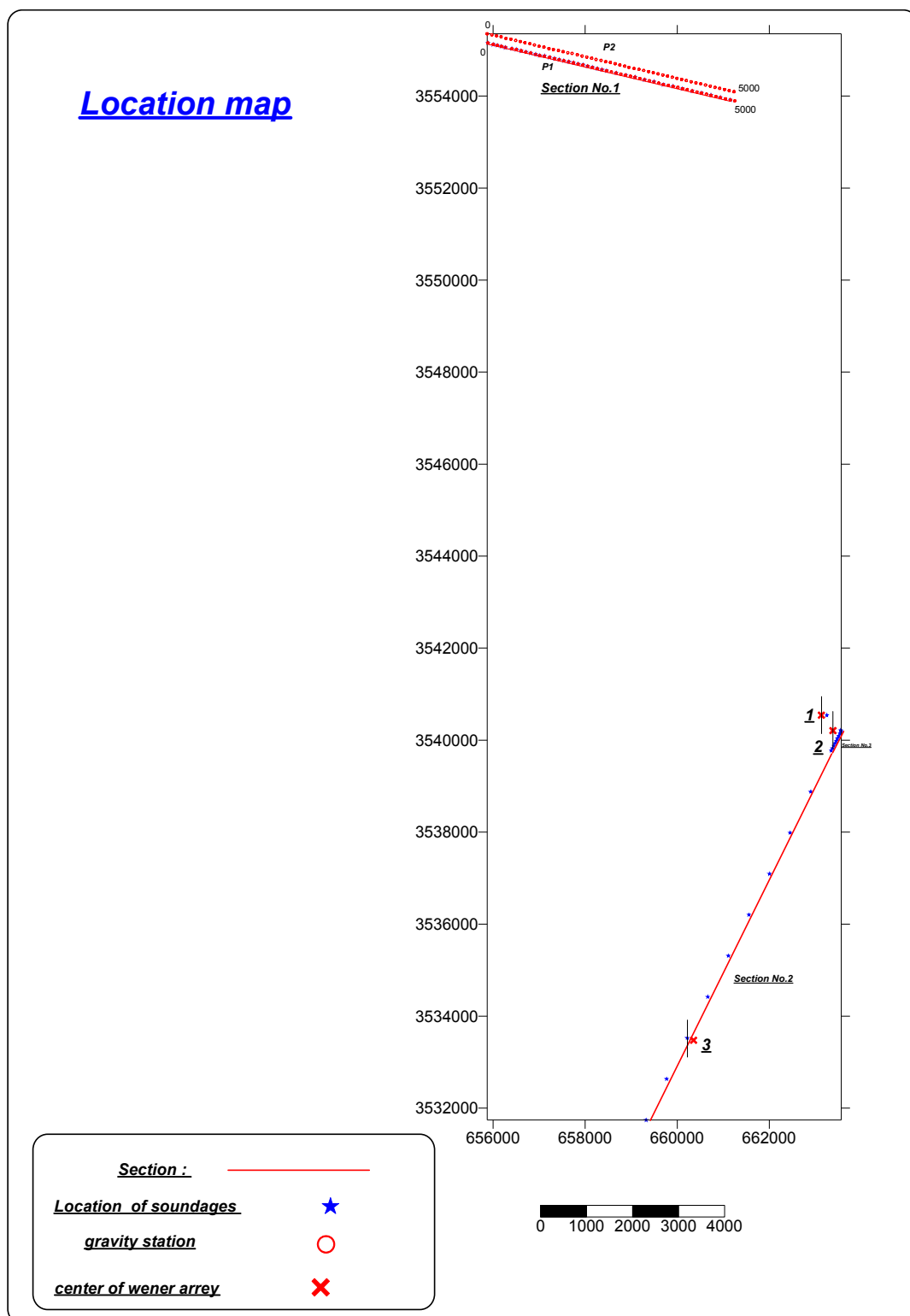
#### ۱-۳- مطالعات ژئوفیزیک در غرب تالاب گاوخونی

در این محدوده همانطور که در نقشه مکان نمای منطقه (نقشه شماره ۱) دیده می شود ابتدا دو پروفیل بطول ۵/۲ کیلومتر و به فاصله ۲۰۰ متر در کنار هم از نزدیکی پاسگاه محیط زیست به سمت تالاب با ایستگاههای ۱۰۰ متری پیاده شده و سپس اندازه گیری ها بر روی آن با استفاده از روش گرانی سنجدی و مقاومت ویژه ظاهری (ژئوالکتریک) انجام گرفت.

بر روی پروفیل شماره ۱ از هر دو روش ژئوفیزیکی استفاده شد. البته در برداشت‌های ژئوالکتریک بر روی پروفیل اول (پروفیل جنوبی) با آرایش شلومبرژه، با خط جريان تا ۲۲۰ متر ( $AB = 220m$ ) ابتدا بر روی ایستگاهها به فاصله ۱۰۰ متر از هم دیگر اندازه گیری انجام شد و سپس با توجه به یکنواختی داده ها، برداشتها بصورت یک ایستگاه در میان و به فاصله ۲۰۰ متری انجام یافت. عمق مطالعات تا حدود ۶۰ متر بود. شروع پروفیل اول با مختصات ۳۵۵۵۱۵۴ شمالی و ۶۵۵۸۸۶ شرقی مربوط به ایستگاه ۲۰۰- و انتهای پروفیل

با مختصات ۳۵۵۳۹۱۸ شمالی و ۶۹۱۱۵۲ شرقی مربوط به ایستگاه ۵۰۰۰ با آزیموت  $N105E$  از روی ایستگاه ۲۰۰- میباشد.

در پروفیل شماره ۲ بر روی تمامی ایستگاهها به فاصله ۱۰۰ متری از یکدیگر فقط از روش گرانی سنجی در برداشتها استفاده شد. شروع پروفیل از ایستگاه ۲۰۰- و با مختصات  $655870.9E$  و  $x=661231.7E$  و  $y=3554095N$  و  $y=3555354N$  و انتهای آن با مختصات  $5000$  با آزیموت  $N105E$  از روی ایستگاه ۲۰۰- میباشد.



نقشه شماره ۱ - نقشه مکان نمای منطقه با محل سوندآژها و محل برداشت پروفیل های گرانی



تصویر شماره ۲ - محل تقریبی برواشتها بر روی تصویر ماهواره ای

در نقشه شماره ۲ به ترتیب مقطع توپوگرافی، داده های برداشت شده گرانی، داده های تصحیح شده گرانی و نتایج سوندazerθوالکتریک بر روی پروفیل اول از بالا به پایین نمایش داده شده است.

بر روی مقطع توپوگرافی محدوده های مرتفع، تپه های ماسه بادی را تشکیل میدهند. به سمت غرب به جنگل درختچه های گز رسیده و در شرق به تالاب نزدیک میشویم. نواحی کم ارتفاع کف تالاب را تشکیل میدهد ولی نمک در آن تشکیل نشده و همچنان که به سمت تالاب میرویم نمک شروع به تشکیل شدن می کند. به سمت غرب به ارتفاع افزوده و به سمت شرق ارتفاع کاهش میابد. حداکثر تغییر ارتفاع بر روی این پروفیل ۱۲ متر می باشد. مختصات نقاط پروفیل بر حسب UTM به فواصل ۵۰۰ متری نشان داده شده است. امتداد این پروفیل N105E میباشد.

بر روی داده های مشاهده گرانی همانطور که می توان حدس زد تغییرات در خلاف جهت اثر توپوگرافی است و این به علت آنست که در مناطق مرتفع فاصله از مرکز ثقل زمین بیشتر بوده و اثر جاذبه به طور طبیعی کمتر است.

پس از انجام تصحیحات لازم شامل بوگر کامل و ترین ، داده های نهایی به دست می آید. مقدار جرم حجمی واحد های سطحی منطقه به ترتیب زیر در آزمایشگاه اندازه گیری شده است :

ماسه بادی : ۲ گرم بر سانتی متر مکعب

خاک محدوده جنگل گز : ۲/۵ گرم بر سانتی متر مکعب

ماسه بادی همراه با لایه نمک سطحی : ۲/۴ گرم بر سانتی متر مکعب

برای انجام تصحیحات گرانی مقدار چگالی  $2/5$  گرم بر سانتی متر مکعب در نظر گرفته شده است. از روش نتلتون نیز برای تعیین چگالی متوسط منطقه استفاده شد که مناسب‌ترین چگالی  $2/5$  گرم بر سانتی‌متر مکعب برای انجام محاسبات بدبست آمد.

آنچه در امتداد پروفیل شماره ۱ میتوان به وضوح مشاهده نمود، افزایش مقدار گرانی به طرفین خصوصاً به سمت شرق است. با توجه به افزایش چگالی در خاکهای جنگلی سمت غرب، افزایش مقدار گرانی در این محدوده دور از انتظار نیست. بر روی تپه‌های ماسه بادی در شرق بین ایستگاه‌های  $2800$  تا  $3700$  نیز مقدار گرانی دستخوش تغییرات ضعیفی است که به احتمال زیاد عامل آن ناشی از عدم تاثیر کامل تصحیحات زمینگان میباشد. البته اثر زمینگان در محدوده مورد مطالعه به دلیل مسطح بودن بخش بسیار وسیعی از این ناحیه به مراتب ضعیف عمل مینماید لذا مقدار این تصحیح تاثیری چندانی بر روند تغییرات چگالی و در نتیجه بر روی تفسیر داده‌ها نخواهد داشت. با این حال وجود نوساناتی در میزان چگالی در زیر تپه‌های ماسه‌ای میتواند به دلیل وجود جرم با چگالی بیشتر از اطراف، در زیر تپه‌های ماسه بادی باشد. چه بسا این جرم چگالتر مانند مانعی طبیعی سبب تجمع ماسه بادیها شده باشد. اما آنچه برای ما مهم است وجود کمترین مقدار گرانی در طول این پروفیل است. کمترین مقدار چگالی بین ایستگاه  $1900$  تا  $2200$  ثبت شده است که در پست ترین محدوده در امتداد این پروفیل نیز قرار دارد. از نظر مورفولوژی این محدوده به ترتیب با مختصات زیر

X=658052E	Y=3554651N	H=1468.50m	Station1900
X=658364E	Y=3554575N	H=1468.48m	Station2200

تقریباً بین دو تپه ماسه بادی که در فاصله تقریباً  $1800$  متری از یکدیگر قرار دارند، واقع شده است. نکته بسیار مهم این است که در مطالعات گرانی سنگی با کاهش ارتفاع توپوگرافی گرانی مشاهده‌ای افزایش میابد که پس از انجام تصحیحات لازم اگر تغییرات چگالی محسوسی

در منطقه وجود نداشته باشد باید انتظار داشت که نمودار تغییرات چگالی، یک خط تقریباً مستقیم و یکنواخت را نشان دهد. اما در اینجا علیرغم کاهش ارتفاع توپوگرافی، چگالی از سایر بخشها بیشترین کاهش را نشان میدهد و این همان چیری است که به دنبال آن بودیم. کمترین چگالی منطقه ناشی از تجمع کانیهای سدیم دار نظری میراصلیت.

از سوی دیگر با توجه به نظرات زمین شناس منطقه و از سوی دیگر با توجه به فاصله و موقعیت جغرافیایی این بخش (بین ایستگاه ۱۹۰۰ تا ۲۲۰۰) نسبت به بخش نمکی، احتمال حضور کانیهای سدیم دار قوت میگیرد.

### ۳-۲-۲- شبه مقطع ژئوکتریک بر روی پروفیل شماره ۱:

بر روی شبه مقطع ژئوکتریک چند مطلب قابل بررسی است:

۱- بیشترین مقدار مقاومت ویژه ظاهری در حدود ۱۰ اهم متر میباشد که بسیار کم بوده و معرف هدایت الکتریکی بسیار زیاد لایه ها میباشد.

۲- مقدار مقاومت ویژه از نقطه ۱۲۰۰ به سمت غرب به طور محسوسی افزایش یافته که البته این افزایش در حد چند اهم متر است که بیشتر میتواند به علت تغییر درجه شوری آب و تغییر جنس خاک باشد.

۳- از ایستگاه ۱۲۰۰ به سمت شرق مقدار مقاومت ویژه ظاهری به شدت کاهش یافته که علت آن افزایش رطوبت بخصوص آمیخته شدن با یونهای نمک محلول میباشد. از این ایستگاه به سمت غرب از میزان ماسه بادی به شدت کم شده و به خاک سطحی افزوده میشود. احتمالاً جنس سازند شروع به تغییر کرده و به سازند هایی که فاقد یونهای نمک هستند نزدیک میشویم.

۴- در بخش شرقی پروفیل، از ایستگاه ۲۸۰۰ تا ۳۷۰۰ مقدار مقاومت لایه های سطحی

افزایش یافته است. بالا بودن نسبی مقاومت ویژه الکتریکی به علت خشک بودن ماسه بادی میباشد.

۵- همانطور که از شبه مقطع مقاومت ویژه الکتریکی انتظار میرفت، به دلیل بالابودن سطح

آب و آغشته بودن به یونهای نمک، اجرای این روش با مشکلات فراوانی روبرو بود. کاوشهای

ژئالکتریک به منظور یافتن لایه‌ای حاوی بلورهای عاری از آب در طول پروفیل برداشت شد.

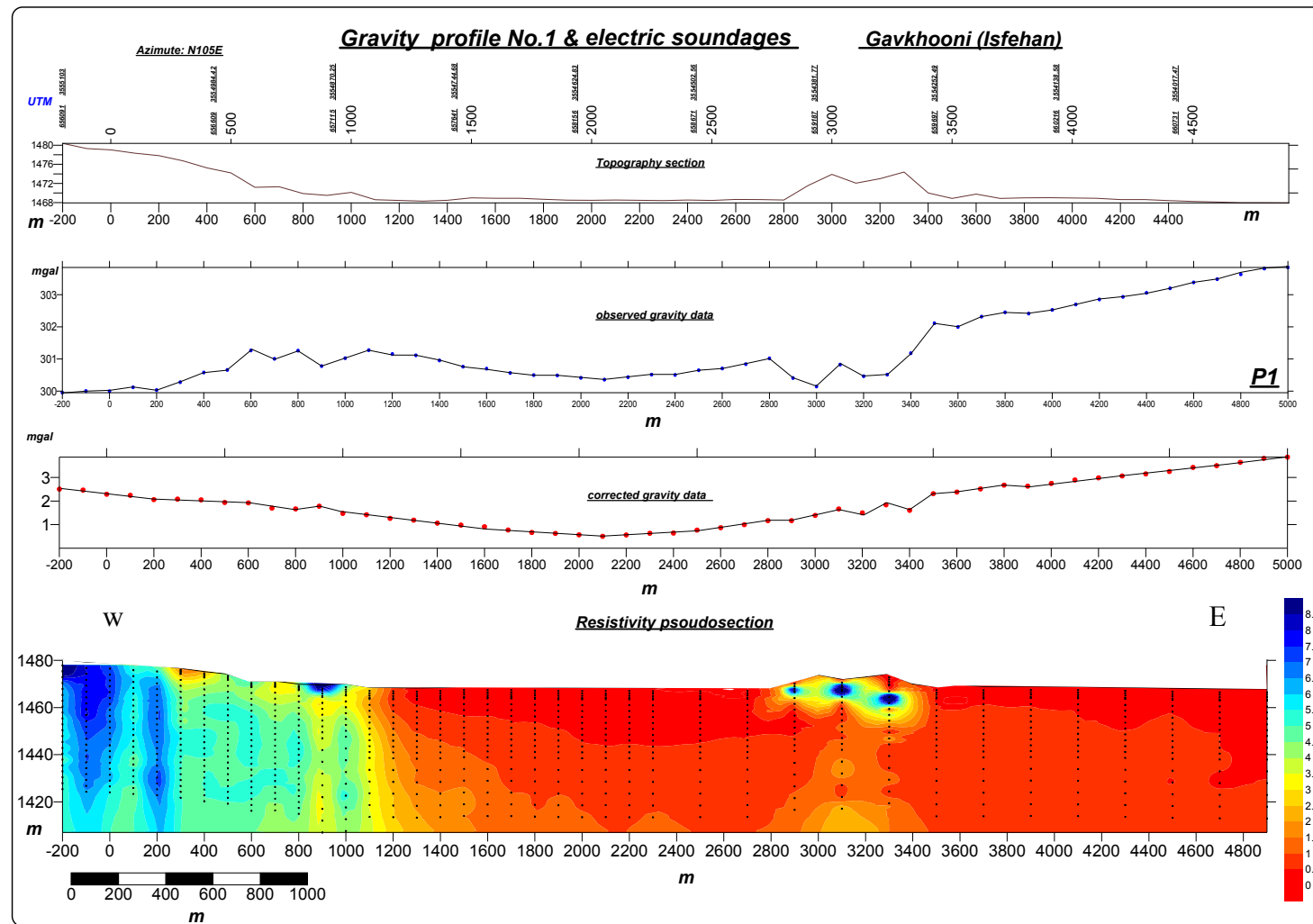
نتایج حاصله نشانی از وجود چنین لایه‌ای را نشان نمیدهد. تنها با استفاده از این روش توانستیم

بخش حاشیه منطقه آبدار را از بخش خشک جدا نماییم که این مرز شدیداً متأثر از تغییرات فصلی

خواهد بود.

نقشه شماره ۲ تغییرات گرانی به همراه شبه مقطع مقاومت ویژه الکتریکی را در امتداد پروفیل شماره ۱ نشان

میدهد.



نقشه شماره ۲- پروفیل شماره ۱ گرانی به همراه شبه مقطع سوندازهای ژئوالکتریک بر روی این پروفیل

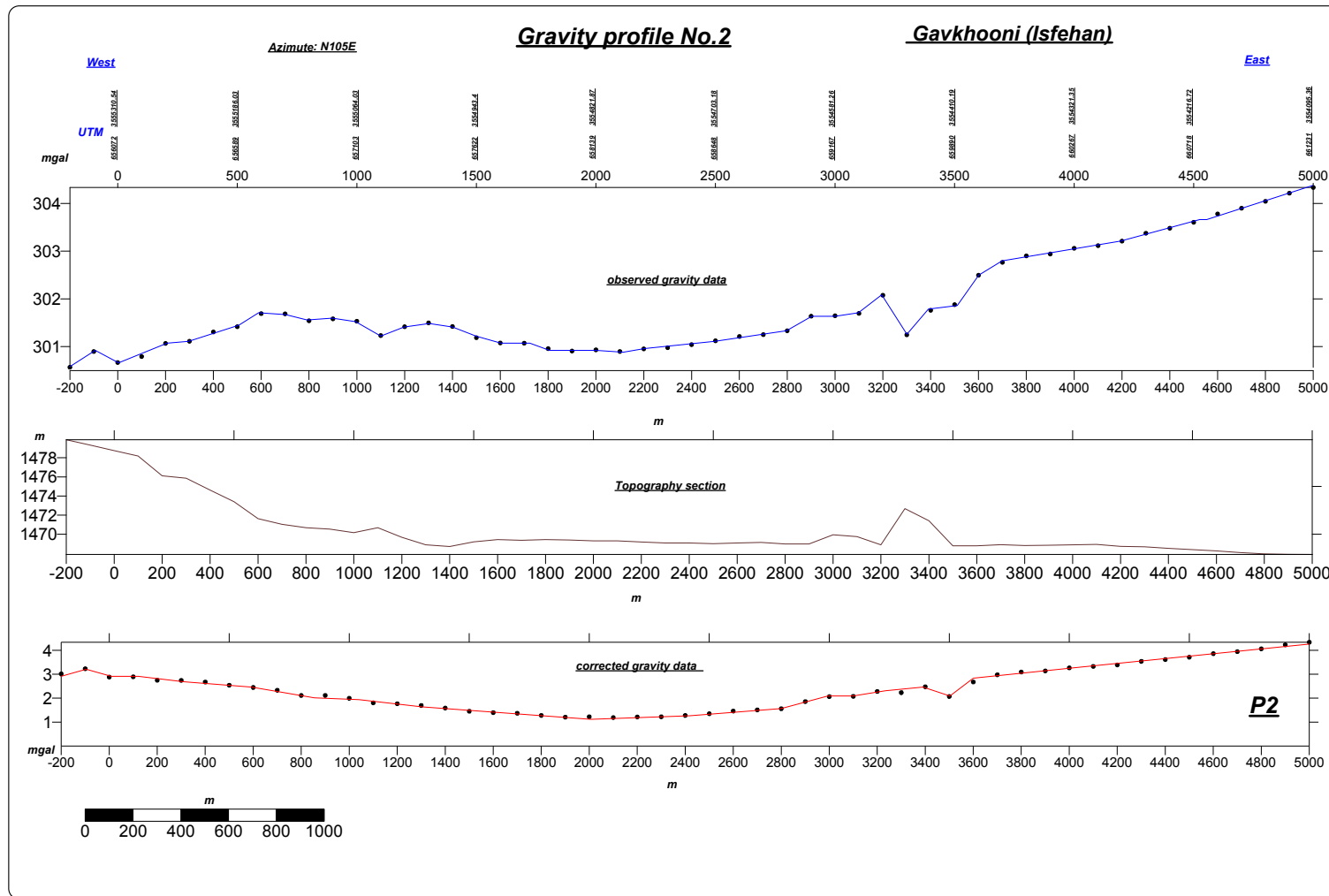
### ۳-۲-۳ پروفیل شماره ۲

به منظور بررسی جانبی تغییرات مشاهده شده در پروفیل شماره ۱ و نیز تایید نتایج بدست آمده، تصمیم گرفته شد به موازات پروفیل شماره ۱ و در فاصله تقریباً ۲۰۰ متری شمال آن اقدام به برداشت پروفیل شماره ۲ شود. بر روی پروفیل شماره ۲ فقط از روش گرانی سنجی استفاده شد. در طول این پروفیل نیز عوارض زمین شناسی و مقدار چگالی رسوبات مشابه پروفیل اول بود.

نتایج به دست آمده در امتداد پروفیل شماره ۲ را در نقشه شماره ۳ مشاهده می‌فرمایید.

در امتداد این پروفیل نیز تغییرات چگالی در مرکز پروفیل کاهش و در طرفین افزایش می‌یابد. به این ترتیب ضمن تایید تغییرات چگالی در پروفیل شماره ۱، پهنه‌ای این بیهنجاری تا ۲۰۰ متر نیز تایید می‌شود. محدوده کمترین چگالی نیز از ایستگاه ۱۹۰۰ تا ۲۲۰۰ مطابق با آنچه در پروفیل شماره ۱ دیدیم، مشاهده می‌شود. مختصات این محدوده عبارت است از:

Station=1900	X=658032E	Y=3554849N	H=1469.19m
Station=2200	X=658344E	Y=3554777N	H= 1469.4m



نقشه شماره ۳- پروفیل شماره ۲ : مقطع گرانی به همراه مقطع توپوگرافی و داده های مشاهده ای بر روی این پروفیل

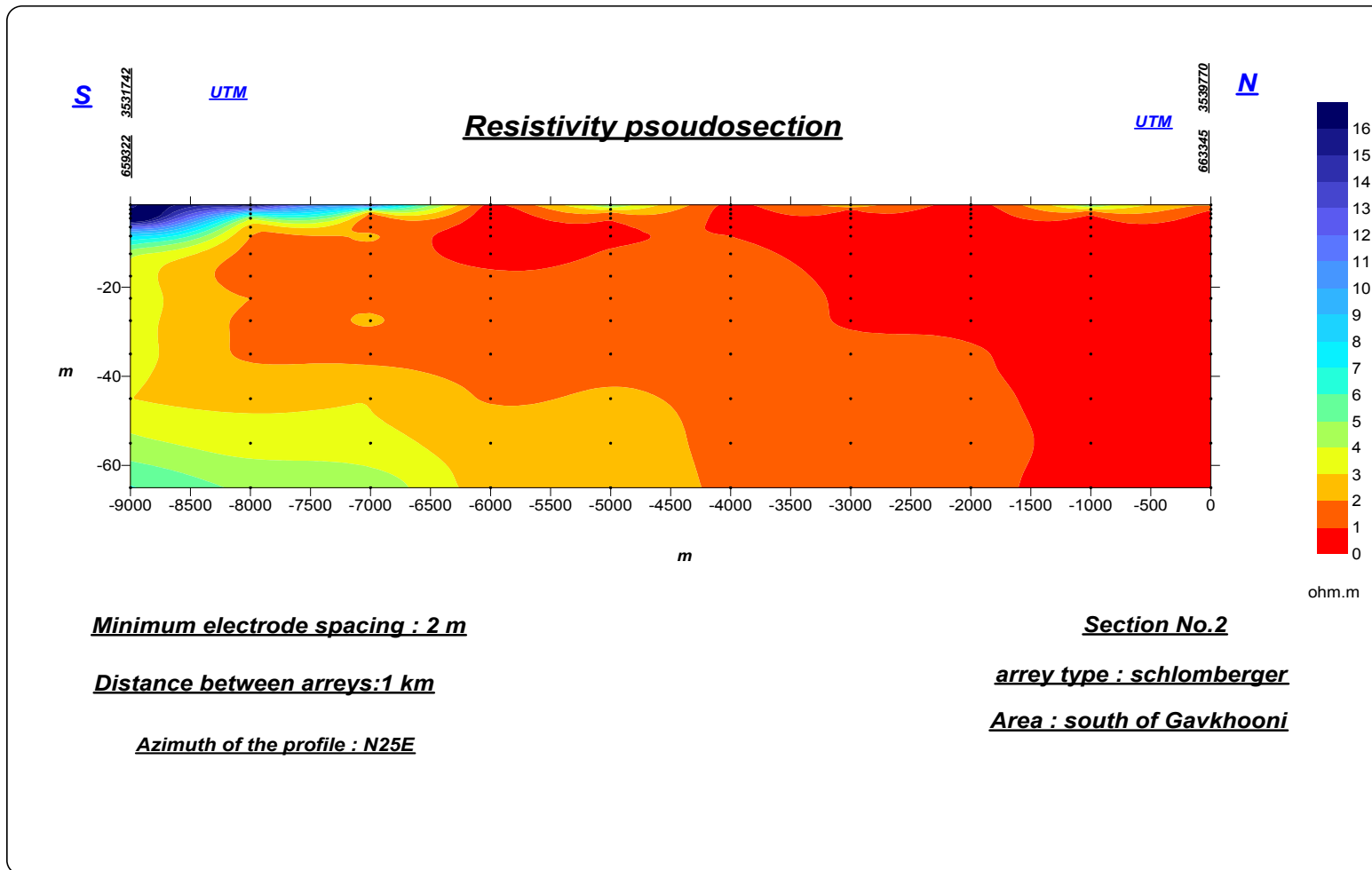
### ۳-۳- مطالعات ژئوفیزیک واقع در جنوب تالاب گاوخونی

شبه مقطع شماره ۲ در جنوب تالاب گاوخونی به طول ۹ کیلومتر با استفاده از روش ژئوالکتریک مورد کاوش قرار گرفت. شروع این شبه مقطع از ایستگاه  $\theta$  با مختصات  $x=663345E$  و  $y=3531742N$  و پایان آن ایستگاه  $9000$ - با مختصات  $x=659322E$  و  $y=3539770N$  و با آزیموت  $N205E$  از روی ایستگاه  $\theta$  می‌باشد.

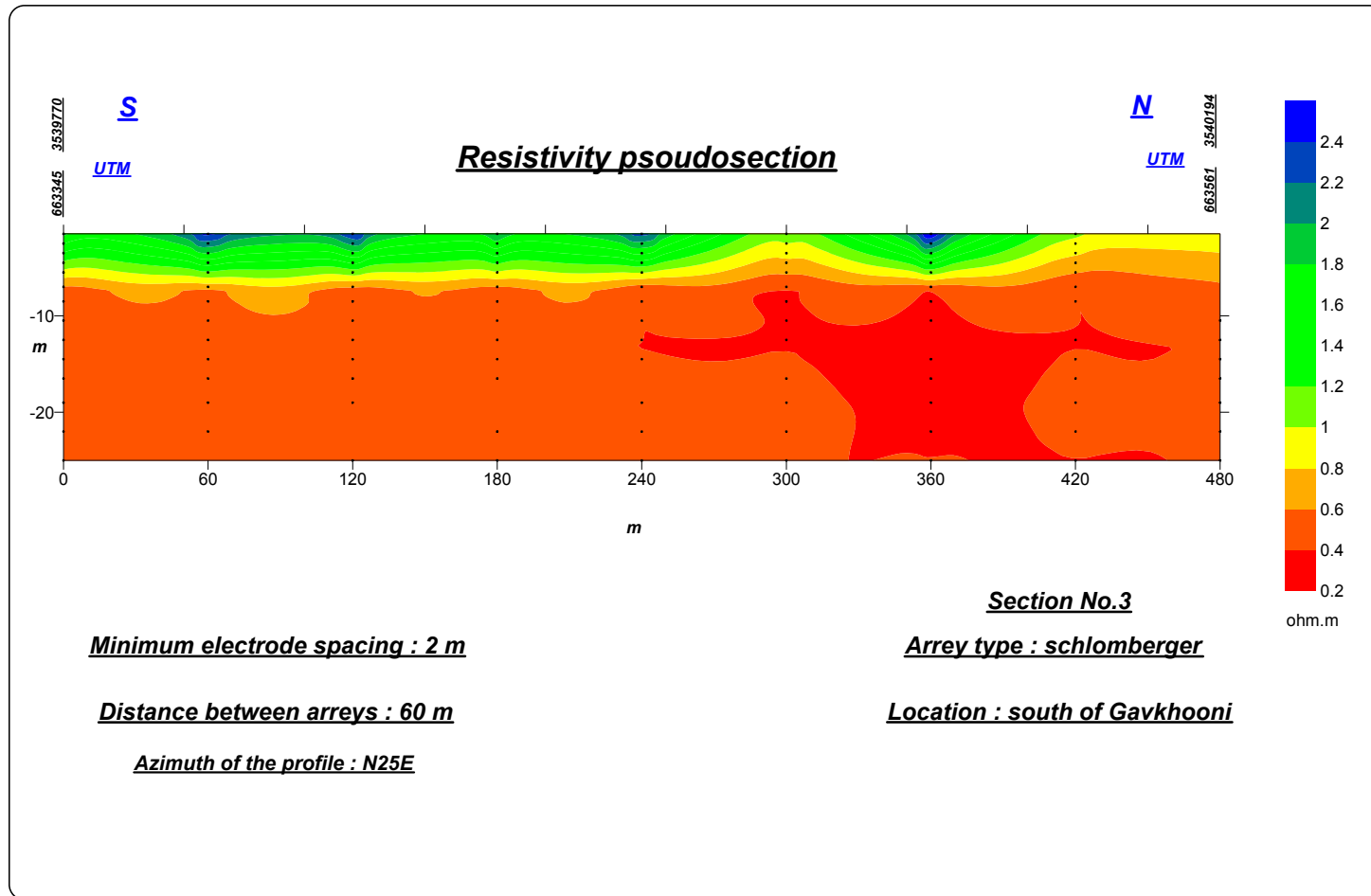
فوacial ایستگاه‌های برداشت از یکدیگر ۱ کیلومتر و در مجموع ۹ برداشت با استفاده از آرایش سوندای الکتریک با فاصله  $AB=260m$  به سمت جنوب مورد پیمایش قرار گرفت.

شبه مقطع شماره ۳ نیز با استفاده از آرایش شلومبرژه از نقطه صفر به سمت شمال شرق با فوacial ۶۰ متری تا فاصله ۴۸۰ متری از ایستگاه صفر ادامه یافت. این نقاط در نقشه مکان نما با علایم آبی رنگ نشان داده شده است. همچنین در ۳ محدوده روش ونر جهت بررسی جزئیات سطحی اجرا شده که در نقشه مکان نمای منطقه، مرکز این آرایشها با شماره های ۱، ۲ و ۳ و با رنگ قرمز نمایش داده شده است. این سه نقطه با توجه به شواهد سطحی بر روی بروند گنج (۱)، محل قدیمی حفریات سطحی (۲) و مرز بین رسوبات مرطوب و خشک (۳) برداشت شد. آرایش ونر شماره ۳ منطبق بر ایستگاه ۷۰۰۰ جنوبی است. در زیر نتایج بدست آمده ارایه می‌شود.

نتایج شبه مقاطع شلومبرژ در نقشه های ۴ و ۵ مشاهده می‌گردد.



نقشه شماره ۴ - شبیه مقطع ژئوالکتریک شماره ۲ با استفاده از آرایش شلومبرژ واقع در جنوب قالاب گاوخونی



نقشه شماره ۵ - شبیه مقطع ژئوالکتریک شماره ۳ با استفاده از آرایش شلومبرژه واقع در جنوب تالاب گاوخونی

### ۳-۱-۳- بودجه آرایش های شلومبرژ

نقشه شماره ۴ شبه مقطع ژئوالکتریک شماره ۲ را نشان میدهد که بطول ۹ کیلومتر به سمت جنوب تالاب ادامه یافته است. چنانکه دیده میشود بر روی این شبه مقطع بیشترین مقادیر مقاومت ویژه ظاهری ۱۷ اهم متر و کمترین مقادیر نزدیک به صفر اندازه گیری شده است. از نزدیکی ایستگاه ۶۵۰۰ به سمت جنوب کم از میزان رطوبت و شوری کاسته شده و مقاومت بالا میروند این در حالیست که مرز واضحی که در برداشت شبه مقطع شماره ۱ در غرب تالاب دیده میشود در جنوب دیده نمیشود و به مرور از سطح به عمق و از شمال به جنوب از میزان رطوبت کاسته شده است.

نقشه شماره ۵ شبه مقطع ژئوالکتریک شماره ۳ را نشان میدهد که از نقطه صفر به سمت شمال برداشت شده است. در این شبه مقطع به شدت بر میزان هدایت الکتریکی افزوده شده بطوریکه بیشترین مقادیر مقاومت ویژه الکتریکی بر روی این مقطع ۲/۵ اهم متر اندازه گیری شده است و از عمق ۵ متری مقاومت به زیر ۱ اهم متر میرسد.

انتظار چنین پدیده‌ای دور از انتظار نیست چراکه این شبه مقطع درحال پیشروعی به داخل حوضه نمک میباشد و این شبه مقطع به دلیل واقع شدن بر روی مناطق حاوی آب و نمک محلول دارای مقاومت الکتریکی بسیار پایینتری نسبت به شبه مقطع شماره ۲ میباشد.

بطور کلی بالا بودن سطح آب و نیز اشباع بودن آن با نمک موجب کاهش شدید مقاومت ویژه ظاهری و بالا بودن هدایت الکتریکی و در نتیجه عدم نفوذ جریان الکتریکی به عمق میگردد. به همین سبب استفاده از آرایش و نر به دلیل قوی تر بودن سیگنال به نویز نسبت به سایر آرایشها نیز مورد استفاده قرار گرفت.

### ۳-۲-۳- بررسی آرایش‌های ونر

چنانکه در نقشه‌های شماره ۶ تا ۸ دیده می‌شود ۳ آرایش ونر در ۳ نقطه بطول تقریبی ۱۰۰ متر در

جهت شمال - جنوب پیاده شده است.

نقشه شماره ۶ شبه مقطع ونر بر روی آثار گچ سطحی در جنوب تالاب را نشان میدهد. میتوان دید

که بجز در بعضی نقاط که کمی مقدار مقاومت ویژه به علت حضور گچ اندکی افزایش یافته در

سایر نقاط مقدار مقاومت بسیار کم بوده، بطوریکه بیشترین مقاومت بر روی این پروفیل به ۱ اهم متر

هم نمیرسد.

نقشه شماره ۷ شبه مقطع ونر بر روی آثار قدیمی از حفریات سطحی اکتشافی در منطقه جنوب

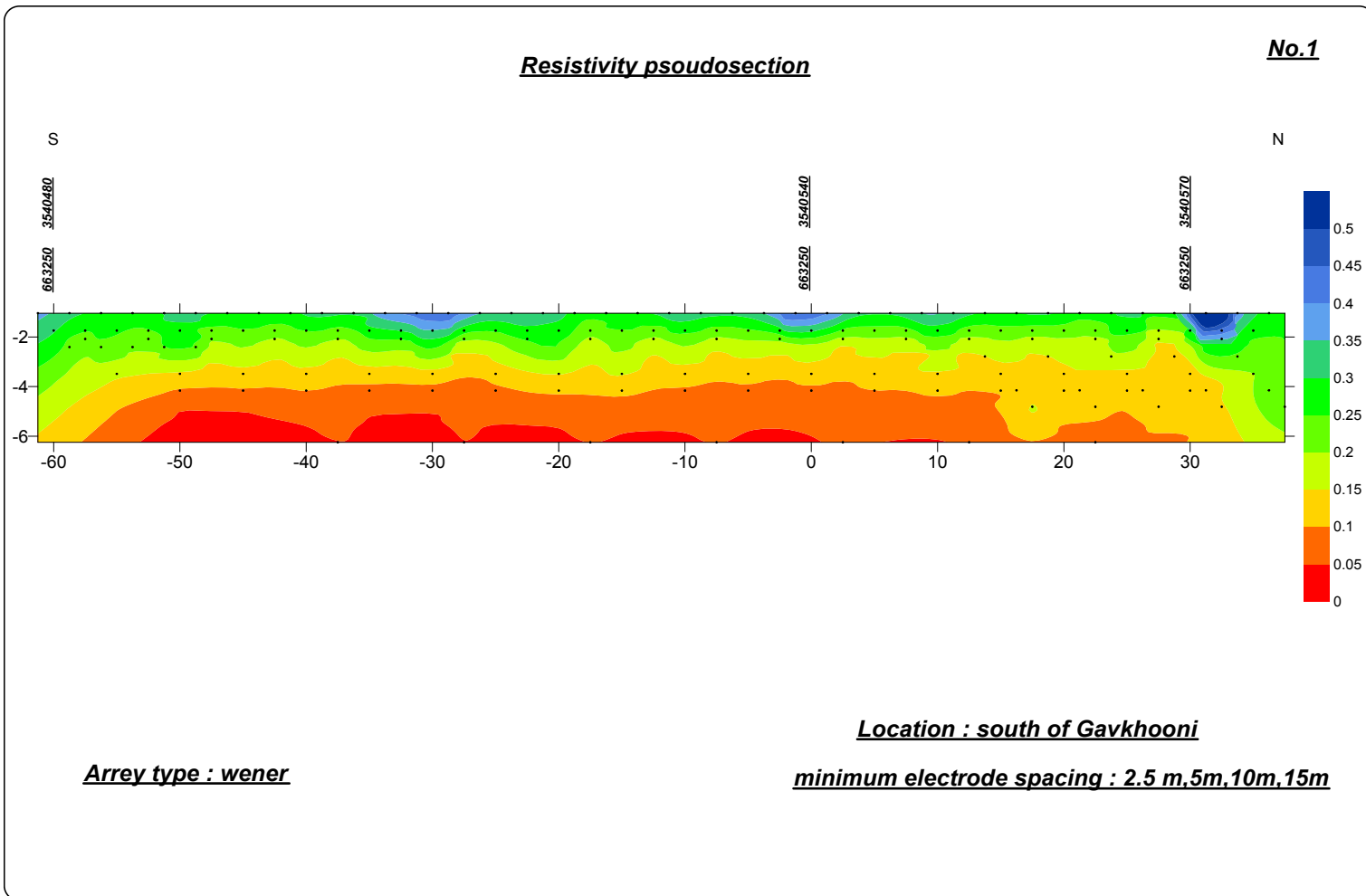
تالاب را نشان میدهد. بر روی این شبه مقطع نیز بیشترین مقدار مقاومت ۲ و کمترین مقدار چیزی

نزدیک به صفر است. این مقادیر معرف هدایت بالای لایه‌ها در اثر وجود نمک و آب است.

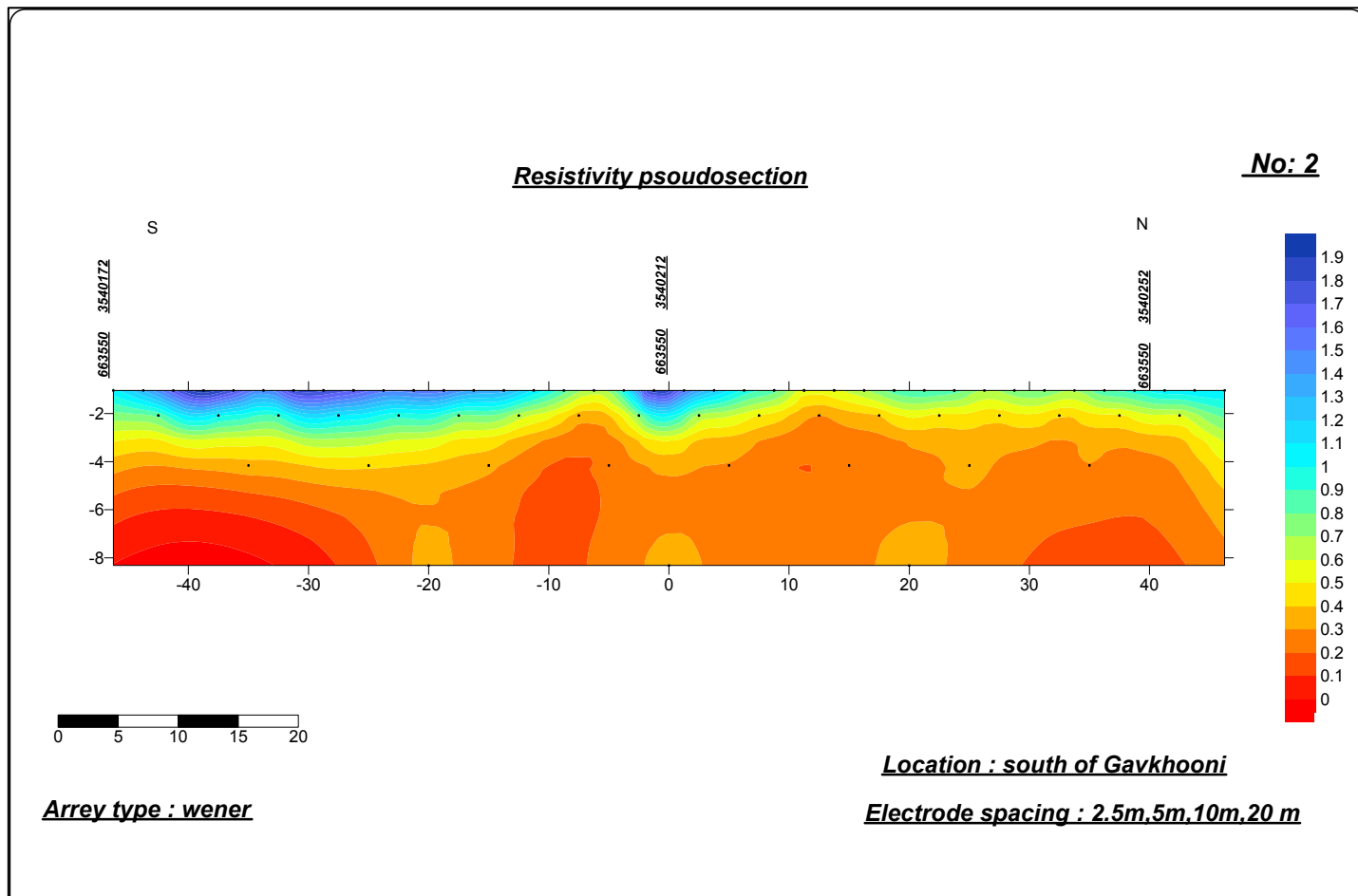
نقشه شماره ۷ شبه مقطع ونر بر روی ایستگاه ۷۰۰۰ جنوبی که حوالی مرز بین لایه مرتبط سطحی و

خاکهای مجاور است، برداشت گردید. بر روی این شبه مقطع به علت نزدیک شدن به مناطق خشک

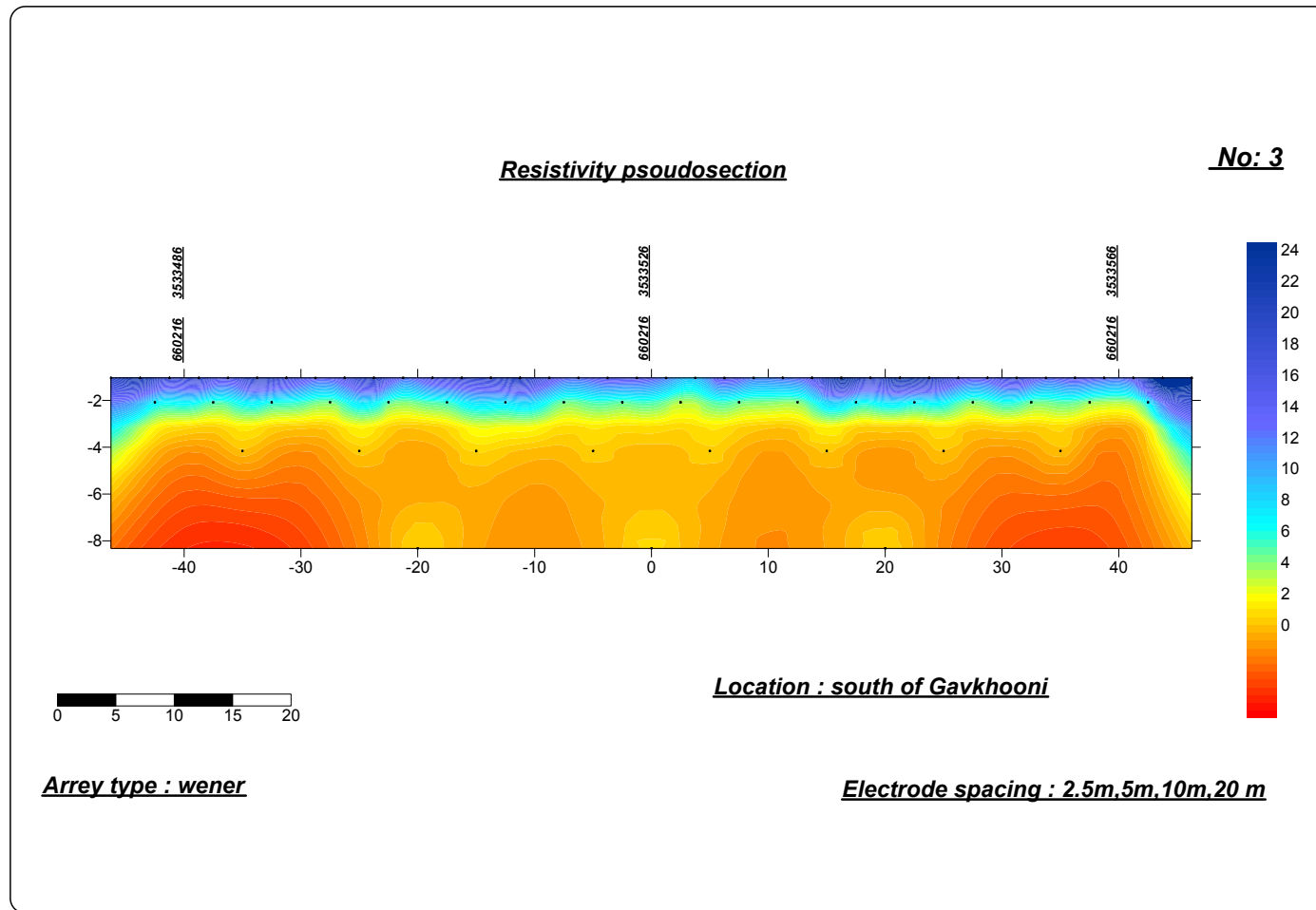
تر مقدار مقاومت تا ۲۴ اهم متر افزایش یافته است.



نقشه شماره ۶ - شبیه مقطع مقاومت شماره ۱ مقاومت ویژه ظاهری با استفاده از آرایش ونر در جنوب گاوخونی



نقشه شماره ۷ - شبیه مقطع شماره ۲ مقاومت ویژه ظاهری با استفاده از آرایش ونر در جنوب گاوخونی



نقشه شماره ۸ - شبیه مقطع شماره ۳ مقاومت ویژه ظاهری با استفاده از آرایش ونر در جنوب گاوخونی

### ۳-۴- نتیجه گیری

همانگونه که در بخش هدف از انجام مطالعات در فصل اول ذکر شد، کاوش‌های ژئوفیزیک بر پایه شناسایی اختلاف بین خصوصیات فیزیکی تشکیلات در برگیرنده و ماده معدنی مورد کاوش استوار است. در این راه موانع طبیعی و حجم مواد معدنی نقش مهمی ایفا می‌کند. استفاده از دو روش ژئوفیزیکی (ژئالکتریک و گرانی سنجی) برای تشخیص دو خصوصیت فیزیکی ( مقاومت و وزن ظاهری و دانسیته) مناسب‌ترین روش می‌باشد. استفاده از سایر روش‌های ژئوفیزیک نظیر لرزه نگاری انکساری با استفاده از چشمۀ سطحی (چکشی) و نیز GPR<sup>۱</sup> برای کاوش‌های تکمیلی توصیه می‌گردد.

با مطالعات انجام شده بطور کلی میتوان به موارد زیر به عنوان نتیجه اشاره نمود:

- ۱- روش گرانی سنجی به مراتب نتایج بهتری نسبت به مطالعات ژئالکتریک داشته است.
- ۲- به علت حضور یونهای نمک محلول و رطوبت فراوان در لایه‌های سطحی ، مقدار مقاومت و وزن ظاهری بسیار کم شده و افزایش هدایت الکتریکی بین الکترودهای فرستنده جریان به عنوان یکی از موانع طبیعی مانع از نفوذ جریان الکتریکی به عمق می‌گردد. در نتیجه عمق مطالعات بسیار محدود می‌شود.
- ۳- در منطقه مورد مطالعه با استفاده از روش ژئالکتریک مرز آب شور و غیر شور<sup>۲</sup> ، و بخصوص مرز بین مناطق آبدار سطحی با مناطق خشکتر بخوبی شناسایی شد. در غرب تالاب این مرز با زاویه تندتری نسبت به بخش جنوبی تالاب دیده می‌شود. این پدیده میتواند ناشی از تغییر سازند باشد. در

<sup>1</sup> استفاده از روش GPR(Ground Penetration Radar) به دلیل شوری منطقه نیاز اعمق نفوذ محدود برخوردار خواهد بود.

<sup>2</sup> منظور از غیر شور در واقع به درجه شوری مربوط خواهد بود.

حالیکه در جنوب این مرز بصورت تدریجی مشاهده می‌گردد. این مسئله برای زمین شناسان میتواند حائز اهمیت باشد. این مرز در غرب نقطه ۱۱۰۰ و در جنوب حوالی ایستگاه ۶۵۰۰ جنوبی است که به احتمال زیاد در فصول مختلف یا سالهای خشک و مرطوب متغیر خواهد بود.

-۴- استفاده از روش گرانی سنجدی به منظور شناسایی مناطق کم چگالتر که میتواند مربوط به کانیهای سدیم دار از نوع سولفات آبدار باشد، فقط در بخش غربی تالاب اجرا گردید. با توجه به اختلاف بسیار ناچیز بین چگالی رخساره‌ها، نتایج حاصله وجود چگالی کمتری نسبت به سایر نقاط را بین ایستگاههای ۱۹۰۰ تا ۲۲۰۰ نشان میدهد. جالبترین نتیجه در مطالعات گرانی سنجدی، افت چگالی در وسط هر دو پروفیل میباشد. به عبارت دیگر روند تقریباً یکنواخت کاهش چگالی از ابتدای پروفیل به سمت تالاب تا ایستگاه ۱۹۰۰ و در ادامه، مجدداً افزایش چگالی از ایستگاه ۲۲۰۰ به سمت انتهای پروفیل یعنی به سمت شرق را شاهدیم. بر این اساس میتوان انتظار داشت احتمال حضور کانیهای سولفات سدیم در بخشی که کمترین چگالی موجود در طول پروفیل را مشاهده میکنیم بیشتر از سایر نقاط باشد. بنابر این حفر دو چاه اکتشافی به عمق ۱۵ تا ۲۰ متر در دو نقطه به ترتیب زیر پیشنهاد

می‌گردد:

الف) ایستگاه ۲۰۰۰ از پروفیل شماره ۱ واقع در وسط محدوده کم چگال با مختصات

Station=2000	X=658156E	Y=3554625N	H=1468.48m
--------------	-----------	------------	------------

ب) ایستگاه ۲۰۰۰ از پروفیل شماره ۲ واقع در وسط محدوده کم چگال با مختصات

Station=2000	X=658140E	Y=3554822N	H=1469.31m
--------------	-----------	------------	------------

-۵- پس از نمونه برداری از این دو چاه اگر وجود سولفات سدیم تایید گردید میتوان با اطمینان بیشتری نسبت به بخش کم چگال اظهار نظر نمود. بنابر این میتوان با حفر چاههای دیگر از طرفین

ایستگاه ۲۰۰۰ در هر پروفیل تا حد اکثر ۲۰۰ متر، از طرف شرق و غرب پیشنهاد میگردد. به این ترتیب

میتوان گسترش جانبی این پهنه را بدست آورد.

### تشکر و قدردانی

در اینجا لازم میدام از آقای مهندس جوادی پور، ریاست گروه ژئوفیزیک سازمان که در طی

ماموریت حضور داشته و به عنوان ناظر علمی از راهنمایی ایشان در مراحل مختلف انجام کار

استفاده نمودم و همچنین از آقای مهندس روزبه زمین شناس منطقه که نهایت همکاری را با

اکیپ ژئوفیزیک داشتند و اطلاعات لازم را در اختیار این جانب قرار دادند، تشکر و قدردانی

نمایم.

## اطلاعات صحرا ای ژئوفیزیک

### الف) داده های گرانی بر روی پروفیل شماره ۱

ستون اول شماره ایستگاه

- ستون دوم و سوم و چهارم مختصات ایستگاهها در سیستم UTM WGS84
- ستون پنجم ارتفاع کف دستگاه تا میخ نقشه برداری بر حسب سانتیمتر (در برخی از ایستگاهها ارتفاع سطح فوکانی میخ چوبی نقشه برداری بالاتر از کف دستگاه بوده و در نتیجه این اختلاف بصورت منفی میباشد.
- ستون ششم گرانی نسبی اندازه گیری شده یا به عبارت دیگر مشاهده ای با احتساب تصحیحات دریفت روزانه و جذر و مد
- ستون هفتم بیهنجاری بوگر کامل با اعمال تصحیحات هوای آزاد و بوگر با استفاده از چگالی ۲/۵ گرم بر سانتیمتر مکعب

station	x	y	z	tripod	Observe	Co.Buger
-200	655887	3555154	1480.39	-2	299.965	302.505
-100	656003	3555125	1479.27	-1	300.15	302.4637
0	656091	3555103	1479	13	300	302.2872
100	656181	3554451	1478.34	-2.5	300.12	302.2411
200	656270	3553799	1477.8	4	300.035	302.0592
300	656405	3555030	1476.73	2	300.28	302.082
400	656506	3555011	1475.24	-7	300.57	302.05
500	656609	3554984	1474.2	3	300.65	301.9383
600	656711	3554958	1471.17	1	301.255	301.9216
700	656815	3554935	1471.31	0	301.005	301.6981
800	656921	3554908	1469.9	0	301.26	301.6657
900	657012	3554883	1469.48	0	301.76	301.78
1000	657115	3554870	1470.12	12.5	301	301.476
1100	657227	3554844	1468.6	0	301.275	301.4157
1200	657333	3554816	1468.44	0	301.155	301.263
1300	657434	3554791	1468.3	-4.5	301.118	301.1878
1400	657535	3554766	1468.46	-4	300.958	301.0615
1500	657641	3554745	1468.97	-1.5	300.765	300.978
1600	657744	3554724	1468.9	0	300.705	300.9068
1700	657847	3554697	1468.9	-1	300.57	300.7698

station	x	y	z	tripod	observe	Co.Buger
1800	657951	3554678	1468.7	-1	300.505	300.664
1900	658052	3554651	1468.5	2	300.5	300.6243
2000	658156	3554625	1468.48	11	300.425	300.5636
2100	658262	3554596	1468.55	1	300.37	300.5025
2200	658364	3554575	1468.48	-1	300.445	300.5592
2300	658465	3554550	1468.42	1.5	300.525	300.632
2400	658568	3554525	1468.52	0	300.515	300.6393
2500	658672	3554503	1468.44	-1	300.66	300.766
2600	658774	3554478	1468.64	-1	300.72	300.8668
2700	658878	3554456	1468.62	-2.5	300.855	300.9946
2800	658982	3554431	1468.53	3	301.035	301.1675
2900	659083	3554411	1471.54	1	300.425	301.167
3000	659187	3554382	1473.9	11	300.145	301.3885
3100	659291	3554356	1472.07	-4.5	300.825	301.6638
3200	659392	3554334	1473	-5	300.47	301.4974
3300	659494	3554312	1474.39	-1	300.52	301.8389
3400	659596	3554282	1470	-2.5	301.185	301.606
3500	659698	3554252	1468.87	0	302.115	302.3107
3600	659807	3554234	1469.78	-1	302	302.3792
3700	659909	3554211	1468.86	-3	302.325	302.5125
3800	660013	3554189	1468.99	-3	302.46	302.674
3900	660115	3554161	1469	-5.5	302.42	302.631
4000	660216	3554139	1468.95	-1	302.535	302.745
4100	660326	3554112	1468.9	-2.5	302.695	302.8917
4200	660428	3554089	1468.62	-5.5	302.85	302.9835
4300	660527	3554067	1468.61	-5	302.93	303.0625
4400	660633	3554041	1468.4	-2.5	303.057	303.1518
4500	660731	3554017	1468.22	-3	303.197	303.2541
4600	660839	3553990	1468.11	1.5	303.382	303.4258
4700	660935	3553968	1467.97	3	303.482	303.5003
4800	661046	3553941	1467.96	0	303.632	303.6422
4900	661153	3553918	1467.92	-1	303.812	303.812
5000	661250	3553895	1467.88	11	303.847	303.8633

## ب) داده‌های گرانی بر روی پروفیل شماره ۲

- ستون اول شماره ایستگاه
- ستون دوم و سوم و چهارم مختصات ایستگاهها در سیستم UTM WGS84
- ستون پنجم ارتفاع کف دستگاه تا میخ نقشه برداری بر حسب سانتیمتر (در برخی از ایستگاهها ارتفاع سطح فوکانی میخ چوبی نقشه برداری بالاتر از کف دستگاه بوده و در نتیجه این اختلاف بصورت منفی میباشد.)
- ستون ششم گرانی نسبی اندازه گیری شده یا به عبارت دیگر مشاهده‌ای با احتساب تصحیحات دریفت روزانه و جذر و مد
- ستون هفتم بیهنجاری بوگر کامل با اعمال تصحیحات هوای آزاد و بوگر با استفاده از چگالی ۲/۵ گرم بر سانتیمتر مکعب

station	X	Y	Z	tripod	observe	Co.Buger
-200	655871	3555354	1479.89	-3.5	300.565	303.0132
-100	655972	3555332	1479.32	-3.5	300.895	303.227
0	656072	3555311	1478.75	-3.5	300.665	302.8808
100	656173	3555289	1478.18	-3	300.79	302.8907
200	656276	3555251	1476.12	-3	301.065	302.7457
300	656385	3555238	1475.87	-2.5	301.11	302.7408
400	656490	3555209	1474.62	-7	301.305	302.6718
500	656589	3555186	1473.4	-4	301.415	302.5392
600	656692	3555159	1471.63	-6.5	301.69	302.4483
700	656797	3555140	1471.05	-4	301.685	302.3302
800	656897	3555112	1470.68	-2.5	301.54	302.1128
900	656998	3555084	1470.53	-7	301.58	302.1131
1000	657103	3555064	1470.17	-4.5	301.53	301.9948
1100	657212	3555032	1470.69	-3	301.23	301.8038
1200	657309	3555012	1469.67	-10.5	301.415	301.7656
1300	657419	3554990	1468.89	-7.5	301.495	301.6927
1400	657519	3554966	1468.72	-6.5	301.42	301.5851
1500	657622	3554943	1469.21	-5.5	301.185	301.452
1600	657714	3554928	1469.45	-4	301.075	301.394
1700	657828	3554896	1469.37	-6	301.07	301.3686
1800	657933	3554872	1469.44	-2	300.955	301.2761
1900	658032	3554849	1469.4	-9	300.905	301.2036
2000	658140	3554822	1469.31	-3	300.93	301.2225
2100	658235	3554797	1469.31	-3	300.895	301.1875
2200	658344	3554777	1469.19	-5.5	301	301.263

2300	658445	3554746	1469.09	-3.5	301.035	301.2817
2400	658547	3554730	1469.08	-7	301.04	301.2775
2500	658649	3554703	1469.01	-4	301.12	301.3493
2600	658752	3554676	1469.09	-2	301.21	301.4597
2700	658858	3554651	1469.15	-3.5	301.249	301.5079
2800	658949	3554623	1468.98	-1	301.33	301.5593
2900	659061	3554599	1468.98	-6	301.636	301.8551
3000	659168	3554581	1469.94	-5	301.645	302.0619
3100	659271	3554558	1469.75	-4.5	301.695	302.0742
3200	659375	3554532	1468.9	-6	302.075	302.2778
3300	659479	3554508	1472.69	-1	301.245	302.2306
3400	659583	3554483	1471.41	-5	301.76	302.4765
3500	659890	3554410	1468.79	-1	301.878	302.0686
3600	659997	3554383	1468.79	-7	302.195	302.5734
3700	660094	3554364	1468.91	-4	302.765	302.9739
3800	660196	3554337	1468.82	-3.5	302.9	303.0916
3900	660232	3554329	1468.86	-5	302.94	303.1367
4000	660267	3554321	1468.9	-4.5	303.06	303.2659
4100	660303	3554314	1468.94	-6	303.115	303.326
4200	660406	3554289	1468.73	-2	303.21	303.3863
4300	660508	3554268	1468.68	-4.5	303.375	303.536
4400	660612	3554240	1468.53	-4	303.48	303.6115
4500	660718	3554217	1468.4	-4.5	303.605	303.709
4600	660819	3554189	1468.27	-3.5	303.78	303.8595
4700	660921	3554169	1468.08	-2.5	303.9	303.9428
4800	661025	3554144	1467.95	-3	304.045	304.0603
4900	661129	3554117	1467.91	-1	304.215	304.2262
5000	661232	3554095	1467.86	-1.5	304.335	304.335

### ج) داده های سوندایز الکتریک در غرب تالاب بر روی پروفیل شماره ۱

station	topo	resistivity
-200	1477.89	9
-200	1475.39	10.4
-200	1472.89	8.2
-200	1470.39	6.6
-200	1467.89	6.2
-200	1465.39	5.9
-200	1462.89	6.1
-200	1460.39	6.1
-200	1457.89	6.2
-200	1455.39	5.4
-200	1452.89	5.7
-200	1450.39	5.6
-200	1447.89	5.3
-200	1445.39	6.1
-200	1442.89	5.3
-200	1440.39	6
-200	1437.89	4.5
-200	1435.39	5.8
-200	1432.89	5.7
-200	1430.39	5
-200	1427.89	5
-200	1425.39	5.1
-100	1476.77	7.9
-100	1474.27	8.1
-100	1471.77	7.6
-100	1469.27	7.5
-100	1466.77	7.9
-100	1464.27	7.9
-100	1461.77	8
-100	1459.27	8
-100	1456.77	8.2
-100	1454.27	7.5
-100	1451.77	7.4
-100	1449.27	7.2
-100	1446.77	7.1
-100	1444.27	6.9
-100	1441.77	6.9
-100	1439.27	7.2
-100	1436.77	7
-100	1434.27	7
-100	1431.77	6.9
-100	1429.27	6.5
-100	1426.77	6.9
-100	1424.27	6.4

station	topo	resistivity
0	1476.5	7.2
0	1474	7.5
0	1471.5	7.5
0	1469	7.4
0	1476.5	7.2
0	1474	7.5
0	1471.5	7.5
0	1469	7.4
0	1466.5	7.6
0	1464	7.4
0	1461.5	7.2
0	1459	6.8
0	1456.5	6.8
0	1454	7
0	1451.5	7
0	1449	6.7
0	1446.5	6.6
0	1444	6.6
0	1441.5	6.3
0	1439	6.2
0	1436.5	6.1
0	1434	5.9
0	1431.5	6.3
0	1429	6.2
0	1426.5	5.5
0	1424	5.5
100	1475.84	4.9
100	1473.34	5.9
100	1470.84	5.9
100	1468.34	5.6
100	1465.84	5.4
100	1463.34	5.1
100	1460.84	5.2
100	1458.34	5.2
100	1455.84	4.9
100	1453.34	5.4
100	1450.84	5.3
100	1448.34	5.4
100	1445.84	5.1
100	1443.34	5.2
100	1440.84	4.9
100	1438.34	4.4
100	1435.84	4.5
100	1433.34	5.2

station	topo	resistivity
100	1430.84	5.2
100	1428.34	5
100	1425.84	4.6
100	1423.34	4.5
200	1475.3	5.4
200	1472.8	6.4
200	1470.3	6.8
200	1467.8	7
200	1465.3	6.9
200	1462.8	7.1
200	1460.3	7.3
200	1457.8	7.4
200	1455.3	7.4
200	1452.8	7.2
200	1450.3	7.1
200	1447.8	7.1
200	1445.3	7.1
200	1442.8	6.9
200	1440.3	6.9
200	1437.8	6.8
200	1435.3	7
200	1432.8	7.3
200	1430.3	7.4
200	1427.8	7.5
200	1425.3	7
200	1422.8	7
300	1475.98	1
300	1475.48	1.4
300	1474.98	1.8
300	1474.48	2.2
300	1474.23	2
300	1471.73	3
300	1469.23	3.6
300	1466.73	4
300	1464.23	4.3
300	1461.73	4.5
300	1459.23	3.8
300	1456.73	5
300	1454.23	3.8
300	1451.73	4.8
300	1449.23	5.3
300	1446.73	5.3
300	1444.23	5.1
300	1441.73	5.1

station	topo	resistivity
300	1439.23	4.9
300	1436.73	4.8
300	1434.23	4.8
300	1431.73	4.9
300	1429.23	4.8
300	1426.73	4.7
300	1424.23	4.6
300	1421.73	4.9
400	1474.49	1.6
400	1473.99	2.3
400	1473.49	2.9
400	1472.99	3.3
400	1472.74	3.5
400	1470.24	3.9
400	1467.74	4.2
400	1465.24	4.5
400	1462.74	4.9
400	1460.24	5.1
400	1457.74	5.2
400	1455.24	4.9
400	1452.74	4.6
400	1450.24	5.2
400	1447.74	5.7
400	1445.24	5.2
400	1442.74	5
400	1440.24	5.2
400	1437.74	4.9
400	1435.24	4.8
400	1432.74	5.2
400	1430.24	5
400	1427.74	5.2
400	1425.24	5
400	1422.74	5.1
400	1420.24	4.9
500	1473.45	5.4
500	1472.95	3.4
500	1472.45	3.9
500	1471.95	4.3
500	1471.7	4
500	1469.2	4.3
500	1466.7	4.5
500	1464.2	4.7
500	1461.7	5
500	1459.2	5.4
500	1456.7	5.6
500	1454.2	4.7
500	1451.7	4.7
500	1449.2	4.7

station	topo	resistivity
500	1446.7	4.7
500	1444.2	4.8
500	1441.7	4.9
500	1439.2	4.9
500	1436.7	4.9
500	1434.2	4.8
500	1431.7	4.8
500	1429.2	5
500	1426.7	4.9
500	1424.2	5.1
500	1421.7	5.1
500	1419.2	4.9
600	1470.42	5.7
600	1469.92	4.9
600	1469.42	5.1
600	1468.92	4.4
600	1468.67	3.4
600	1466.17	3.9
600	1463.67	4.3
600	1461.17	4.7
600	1458.67	5.1
600	1456.17	5.3
600	1453.67	5.2
600	1451.17	5.3
600	1448.67	5.3
600	1446.17	5.3
600	1443.67	5.4
600	1441.17	5.3
600	1438.67	5.1
600	1436.17	5.2
600	1433.67	4.9
600	1431.17	5
600	1428.67	5
600	1426.17	5.2
600	1423.67	5.3
600	1421.17	5
600	1418.67	4.8
600	1416.17	4.9
700	1470.56	2.8
700	1470.06	3.5
700	1469.56	3.6
700	1469.06	3.1
700	1468.81	3.6
700	1466.31	3
700	1463.81	3.6
700	1461.31	4
700	1458.81	4.2
700	1456.31	4.3

station	topo	resistivity
700	1453.81	4.3
700	1451.31	4.4
700	1448.81	4.2
700	1446.31	4.7
700	1443.81	4.7
700	1441.31	4.6
700	1438.81	3.7
700	1436.31	5.1
700	1433.81	4.9
700	1431.31	5.2
700	1428.81	5.4
700	1426.31	4.8
700	1423.81	4.6
700	1421.31	4.7
700	1418.81	4.1
700	1416.31	4.3
800	1469.15	3.4
800	1468.65	4.4
800	1468.15	4.3
800	1467.65	3.7
800	1467.4	3.1
800	1464.9	3.6
800	1462.4	4.1
800	1459.9	4.5
800	1457.4	4.7
800	1454.9	4.9
800	1452.4	5
800	1449.9	5.2
800	1447.4	5.3
800	1444.9	5.5
800	1442.4	5.5
800	1439.9	5.4
800	1437.4	5.4
800	1434.9	5.1
800	1432.4	4.7
800	1429.9	4.8
800	1427.4	5
800	1424.9	5.3
800	1422.4	4.9
800	1419.9	4.8
800	1417.4	4.8
800	1414.9	4.9
900	1467.98	11.5
900	1466.98	10.1
900	1465.98	3.2
900	1464.98	2.4
900	1464.48	2.2
900	1461.98	2.9

station	topo	resistivity
900	1459.48	3.1
900	1456.98	3.2
900	1454.48	3.3
900	1451.98	3.2
900	1449.48	3
900	1446.98	3.2
900	1441.98	3.7
900	1436.98	3.8
900	1431.98	3.7
900	1426.98	3.4
900	1421.98	3.1
900	1416.98	3.1
900	1411.98	3.3
900	1406.98	3.4
1000	1468.62	4.7
1000	1467.62	3.8
1000	1466.62	3.4
1000	1465.62	3.1
1000	1465.12	2.7
1000	1462.62	3.4
1000	1460.12	3.8
1000	1457.62	4.2
1000	1455.12	4.5
1000	1452.62	4.7
1000	1450.12	4.9
1000	1447.62	5.3
1000	1442.62	4.8
1000	1437.62	4.9
1000	1432.62	4.6
1000	1427.62	4.8
1000	1422.62	5.7
1000	1417.62	4.8
1000	1412.62	4.6
1000	1407.62	4.4
1100	1467.1	2.8
1100	1466.1	2.6
1100	1465.1	2.2
1100	1464.1	2
1100	1463.6	1.8
1100	1461.1	1.9
1100	1458.6	2.2
1100	1456.1	2.4
1100	1453.6	2.6
1100	1451.1	2.8
1100	1448.6	3
1100	1446.1	3.2
1100	1443.6	3.3
1100	1441.1	3.3

station	topo	resistivity
1100	1438.6	3.3
1100	1433.6	3.2
1100	1428.6	3.4
1100	1423.6	3.5
1100	1418.6	3.3
1100	1413.6	3.6
1200	1466.94	0.8
1200	1465.94	0.7
1200	1464.94	0.6
1200	1463.94	0.6
1200	1463.44	0.6
1200	1460.94	0.8
1200	1458.44	0.9
1200	1455.94	1.1
1200	1453.44	1.3
1200	1450.94	1.4
1200	1448.44	1.6
1200	1445.94	1.6
1200	1443.44	1.8
1200	1440.94	1.9
1200	1438.44	2
1200	1433.44	2.1
1200	1428.44	2.2
1200	1423.44	2.5
1200	1418.44	2.5
1200	1413.44	2.5
1300	1466.8	0.4
1300	1465.8	0.4
1300	1464.8	0.4
1300	1463.8	0.4
1300	1463.3	0.4
1300	1460.8	0.5
1300	1458.3	0.6
1300	1455.8	0.7
1300	1453.3	0.8
1300	1450.8	0.8
1300	1448.3	1.1
1300	1445.8	1.1
1300	1443.3	1
1300	1440.8	1.3
1300	1438.3	1.3
1300	1433.3	1.5
1300	1428.3	1.4
1300	1423.3	1.8
1300	1418.3	1.9
1300	1413.3	2.1
1400	1466.96	0.3
1400	1465.96	0.3

station	topo	resistivity
1400	1464.96	0.3
1400	1463.96	0.3
1400	1463.46	0.4
1400	1460.96	0.4
1400	1458.46	0.5
1400	1455.96	0.6
1400	1453.46	0.7
1400	1450.96	0.8
1400	1448.46	0.9
1400	1445.96	1
1400	1443.46	1.1
1400	1440.96	1
1400	1438.46	1.3
1400	1433.46	1.4
1400	1428.46	1.4
1400	1423.46	1.5
1400	1418.46	1.6
1400	1413.46	1.7
1500	1467.47	0.4
1500	1466.47	0.4
1500	1465.47	0.4
1500	1464.47	0.3
1500	1463.97	0.3
1500	1461.47	0.4
1500	1458.97	0.4
1500	1456.47	0.5
1500	1453.97	0.6
1500	1451.47	0.7
1500	1448.97	0.7
1500	1446.47	0.8
1500	1443.97	1
1500	1441.47	1
1500	1438.97	1.1
1500	1433.97	1.2
1500	1428.97	1.4
1500	1423.97	1.6
1500	1418.97	1.7
1500	1413.97	1.5
1600	1467.4	0.4
1600	1466.4	0.4
1600	1465.4	0.3
1600	1464.4	0.3
1600	1463.9	0.3
1600	1461.4	0.4
1600	1458.9	0.4
1600	1456.4	0.5
1600	1453.9	0.6
1600	1451.4	0.6

station	topo	resistivity
1600	1448.9	0.6
1600	1446.4	0.6
1600	1443.9	0.8
1600	1441.4	0.9
1600	1438.9	0.9
1600	1433.9	1.1
1600	1428.9	1.2
1600	1423.9	1.3
1600	1418.9	1.4
1600	1413.9	1.3
1700	1467.4	0.3
1700	1466.4	0.3
1700	1465.4	0.3
1700	1464.4	0.3
1700	1463.9	0.3
1700	1461.4	0.3
1700	1458.9	0.4
1700	1456.4	0.5
1700	1453.9	0.5
1700	1451.4	0.5
1700	1448.9	0.7
1700	1446.4	0.8
1700	1443.9	1
1700	1441.4	0.8
1700	1438.9	0.9
1700	1433.9	0.9
1700	1428.9	0.8
1700	1423.9	1
1700	1418.9	1.4
1700	1413.9	1.3
1800	1467.2	0.3
1800	1466.2	0.3
1800	1465.2	0.3
1800	1464.2	0.3
1800	1463.7	0.3
1800	1461.2	0.3
1800	1458.7	0.4
1800	1456.2	0.4
1800	1453.7	0.5
1800	1451.2	0.6
1800	1448.7	0.6
1800	1446.2	0.6
1800	1443.7	0.6
1800	1441.2	0.8
1800	1438.7	0.8
1800	1433.7	0.9
1800	1428.7	1
1800	1423.7	1

station	topo	resistivity
1800	1418.7	0.9
1800	1413.7	1.1
1900	1467	0.2
1900	1466	0.3
1900	1465	0.3
1900	1464	0.3
1900	1463.5	0.3
1900	1461	0.3
1900	1458.5	0.3
1900	1456	0.4
1900	1453.5	0.4
1900	1451	0.5
1900	1448.5	0.6
1900	1446	0.5
1900	1443.5	0.7
1900	1441	0.7
1900	1438.5	0.7
1900	1433.5	0.8
1900	1428.5	0.8
1900	1423.5	1
1900	1418.5	1.1
1900	1413.5	1.1
2000	1466.98	0.2
2000	1465.98	0.3
2000	1464.98	0.3
2000	1463.98	0.3
2000	1463.48	0.3
2000	1460.98	0.3
2000	1458.48	0.3
2000	1455.98	0.4
2000	1453.48	0.3
2000	1450.98	0.4
2000	1448.48	0.4
2000	1445.98	0.5
2000	1443.48	0.5
2000	1440.98	0.7
2000	1438.48	0.7
2000	1433.48	0.8
2000	1428.48	0.8
2000	1423.48	1
2000	1418.48	0.9
2000	1413.48	1.1
2100	1467.05	0.2
2100	1466.05	0.2
2100	1465.05	0.2
2100	1464.05	0.3
2100	1463.55	0.2
2100	1461.05	0.3

station	topo	resistivity
2100	1458.55	0.3
2100	1456.05	0.3
2100	1453.55	0.3
2100	1451.05	0.5
2100	1448.55	0.4
2100	1446.05	0.4
2100	1443.55	0.5
2100	1441.05	0.6
2100	1438.55	0.7
2100	1433.55	0.8
2100	1428.55	0.8
2100	1423.55	0.8
2100	1418.55	0.9
2100	1413.55	0.9
2200	1466.98	0.2
2200	1465.98	0.2
2200	1464.98	0.2
2200	1463.98	0.2
2200	1463.48	0.2
2200	1460.98	0.3
2200	1458.48	0.3
2200	1455.98	0.4
2200	1453.48	0.3
2200	1450.98	0.4
2200	1448.48	0.4
2200	1445.98	0.5
2200	1443.48	0.5
2200	1440.98	0.6
2200	1438.48	0.6
2200	1433.48	0.6
2200	1428.48	0.6
2200	1423.48	0.9
2200	1418.48	0.8
2200	1413.48	0.9
2300	1466.92	0.2
2300	1465.92	0.2
2300	1464.92	0.2
2300	1463.92	0.2
2300	1463.42	0.2
2300	1460.92	0.3
2300	1458.42	0.3
2300	1455.92	0.3
2300	1453.42	0.4
2300	1450.92	0.4
2300	1448.42	0.4
2300	1445.92	0.5
2300	1443.42	0.5
2300	1440.92	0.5

station	topo	resistivity
2300	1438.42	0.6
2300	1433.42	0.6
2300	1428.42	0.6
2300	1423.42	0.9
2300	1418.42	0.9
2300	1413.42	1.1
2500	1466.94	0.2
2500	1465.94	0.2
2500	1464.94	0.2
2500	1463.94	0.2
2500	1463.44	0.2
2500	1460.94	0.3
2500	1458.44	0.3
2500	1455.94	0.3
2500	1453.44	0.4
2500	1450.94	0.4
2500	1448.44	0.4
2500	1445.94	0.5
2500	1443.44	0.5
2500	1440.94	0.6
2500	1438.44	0.7
2500	1433.44	0.6
2500	1428.44	0.8
2500	1423.44	0.8
2500	1418.44	0.9
2500	1413.44	0.9
2700	1467.12	0.2
2700	1466.12	0.2
2700	1465.12	0.2
2700	1464.12	0.2
2700	1463.62	0.2
2700	1461.12	0.3
2700	1458.62	0.3
2700	1456.12	0.3
2700	1453.62	0.4
2700	1451.12	0.5
2700	1448.62	0.5
2700	1446.12	0.5
2700	1443.62	0.5
2700	1441.12	0.6
2700	1438.62	1
2700	1433.62	0.8
2700	1428.62	0.8
2700	1423.62	0.8
2700	1418.62	0.8
2700	1413.62	0.9
2900	1470.04	
2900	1469.04	

station	topo	resistivity
2900	1468.04	14.4
2900	1467.04	9.3
2900	1466.54	8.5
2900	1464.04	2.1
2900	1461.54	0.7
2900	1459.04	0.4
2900	1456.54	0.4
2900	1454.04	0.5
2900	1451.54	0.4
2900	1449.04	0.4
2900	1446.54	0.6
2900	1444.04	0.7
2900	1441.54	0.7
2900	1436.54	0.6
2900	1431.54	0.6
2900	1426.54	0.9
2900	1421.54	1.1
2900	1416.54	1.1
3100	1470.57	0
3100	1469.57	12
3100	1468.57	7
3100	1467.57	16.1
3100	1467.07	13.4
3100	1464.57	4.9
3100	1462.07	0.8
3100	1459.57	0.5
3100	1457.07	0.4
3100	1454.57	0.8
3100	1452.07	1.3
3100	1449.57	1
3100	1447.07	0.8
3100	1444.57	1.5
3100	1442.07	0.9
3100	1437.07	1.7
3100	1432.07	2
3100	1427.07	0.8
3100	1422.07	0.8
3100	1417.07	2.5
3300	1472.89	
3300	1471.89	
3300	1470.89	
3300	1469.89	
3300	1469.39	
3300	1466.89	
3300	1464.39	15
3300	1461.89	9
3300	1459.39	0.4
3300	1456.89	4.6

station	topo	resistivity
3300	1454.39	2.3
3300	1451.89	1.4
3300	1449.39	0.4
3300	1446.89	2.3
3300	1444.39	0.6
3300	1439.39	0.8
3300	1434.39	0.8
3300	1429.39	1.4
3300	1424.39	0.5
3500	1467.37	0.3
3500	1466.37	0.4
3500	1465.37	0.4
3500	1464.37	0.5
3500	1463.87	0.5
3500	1461.37	0.5
3500	1458.87	0.5
3500	1456.37	0.5
3500	1453.87	0.5
3500	1451.37	0.5
3500	1448.87	0.6
3500	1446.37	0.5
3500	1443.87	0.5
3500	1441.37	0.5
3500	1438.87	0.6
3500	1433.87	0.6
3500	1428.87	0.6
3500	1423.87	0.6
3500	1418.87	0.6
3500	1413.87	0.8
3700	1467.36	0.3
3700	1466.36	0.4
3700	1465.36	0.5
3700	1464.36	0.5
3700	1463.86	0.5
3700	1461.36	0.5
3700	1458.86	0.5
3700	1456.36	0.6
3700	1453.86	0.6
3700	1451.36	0.6
3700	1448.86	0.5
3700	1446.36	0.6
3700	1443.86	0.5
3700	1441.36	0.5
3700	1438.86	0.6
3700	1433.86	0.6
3700	1428.86	0.6
3700	1423.86	0.8

station	topo	resistivity
3700	1418.86	0.6
3700	1413.86	0.8
3900	1467.5	0.4
3900	1466.5	0.5
3900	1465.5	0.5
3900	1464.5	0.5
3900	1464	0.5
3900	1461.5	0.5
3900	1459	0.5
3900	1456.5	0.5
3900	1454	0.6
3900	1451.5	0.5
3900	1449	0.5
3900	1446.5	0.6
3900	1444	0.5
3900	1441.5	0.6
3900	1439	0.6
3900	1434	0.6
3900	1429	0.6
3900	1424	0.8
3900	1419	0.6
3900	1414	0.8
4100	1467.4	0.4
4100	1466.4	0.4
4100	1465.4	0.5
4100	1464.4	0.5
4100	1463.9	0.5
4100	1461.4	0.5
4100	1458.9	0.5
4100	1456.4	0.5
4100	1453.9	0.5
4100	1451.4	0.5
4100	1448.9	0.5
4100	1446.4	0.6
4100	1443.9	0.6
4100	1441.4	0.5
4100	1438.9	0.6
4100	1433.9	0.8
4100	1428.9	0.6
4100	1423.9	0.8
4100	1418.9	0.8
4100	1413.9	0.8
4300	1467.11	0.4
4300	1466.11	0.4
4300	1465.11	0.4
4300	1464.11	0.4
4300	1463.61	0.4
4300	1461.11	0.5

station	topo	resistivity
4300	1458.61	0.5
4300	1456.11	0.5
4300	1453.61	0.4
4300	1451.11	0.5
4300	1448.61	0.5
4300	1446.11	0.6
4300	1443.61	0.5
4300	1441.11	0.6
4300	1438.61	0.7
4300	1433.61	0.6
4300	1428.61	0.6
4300	1423.61	0.6
4300	1418.61	0.8
4300	1413.61	0.8
4500	1466.72	0.3
4500	1465.72	0.4
4500	1464.72	0.4
4500	1463.72	0.4
4500	1460.72	0.5
4500	1458.22	0.5
4500	1455.72	0.5
4500	1453.22	0.6
4500	1450.72	0.5
4500	1448.22	0.5
4500	1445.72	0.6
4500	1443.22	0.6
4500	1440.72	0.7
4500	1438.22	0.7
4500	1433.22	0.6
4500	1428.22	0.4
4500	1423.22	0.8
4500	1418.22	0.6
4500	1413.22	0.8
4700	1466.47	0.3
4700	1465.47	0.3
4700	1464.47	0.3
4700	1463.47	0.3
4700	1462.97	0.3
4700	1460.47	0.4
4700	1457.97	0.4
4700	1455.47	0.4
4700	1452.97	0.4
4700	1450.47	0.5
4700	1447.97	0.5
4700	1445.47	0.5
4700	1442.97	0.5
4700	1440.47	0.5

station	topo	resistivity
4700	1437.97	0.6
4700	1432.97	0.5
4700	1427.97	0.4
4700	1422.97	0.6
4700	1417.97	0.6
4700	1412.97	0.8
4900	1466.42	0.3
4900	1465.42	0.3
4900	1464.42	0.3
4900	1463.42	0.3
4900	1462.92	0.3
4900	1460.42	0.3
4900	1457.92	0.4
4900	1455.42	0.4
4900	1452.92	0.4
4900	1450.42	0.4
4900	1447.92	0.4
4900	1445.42	0.4
4900	1442.92	0.5
4900	1440.42	0.4
4900	1437.92	0.4
4900	1432.92	0.3
4900	1427.92	0.6
4900	1422.92	0.5
4900	1417.92	0.6
4900	1412.92	0.6

#### د) داده های سوندراز های الکتریک با فواصل ۱ کیلومتری در جنوب تالاب

station	depth	resistivity
0	-1.5	2.2
0	-2.5	1.1
0	-3.5	0.7
0	-4.5	0.6
0	-6.5	0.4
0	-8.5	0.5
0	-12.5	0.7
0	-17.5	0.7
0	-22.5	0.8
0	-27.5	0.8
0	-35	0.5
0	-45	0.5
0	-55	0.6
0	-65	0.5
-1000	-1.5	5.6
-1000	-2.5	2.5
-1000	-3.5	1.1
-1000	-4.5	0.7
-1000	-6.5	0.5
-1000	-8.5	0.5
-1000	-12.5	0.4
-1000	-17.5	0.5
-1000	-22.5	0.4
-1000	-27.5	0.5
-1000	-35	0.5
-1000	-45	0.5
-1000	-55	0.6
-1000	-65	0.5
-2000	-1.5	0.3
-2000	-2.5	0.3
-2000	-3.5	0.4
-2000	-4.5	0.4
-2000	-6.5	0.5
-2000	-8.5	0.5
-2000	-12.5	0.7
-2000	-17.5	0.8
-2000	-22.5	0.9
-2000	-27.5	0.9
-2000	-35	1.1
-2000	-45	1.3
-2000	-55	1.5
-8000	-45	2.8
-8000	-55	3.4

station	depth	resistivity
-2000	-6.5	1.3
-3000	-1.5	3.2
-3000	-2.5	0.9
-3000	-3.5	0.5
-3000	-4.5	0.5
-3000	-6.5	0.6
-3000	-8.5	0.6
-3000	-12.5	0.7
-3000	-17.5	0.8
-3000	-22.5	0.9
-3000	-27.5	0.9
-3000	-35	1.2
-3000	-45	1.3
-3000	-55	1.3
-3000	-65	1.3
-4000	-1.5	0.6
-4000	-2.5	0.6
-4000	-3.5	0.7
-4000	-4.5	0.8
-4000	-6.5	0.9
-4000	-8.5	1
-4000	-12.5	1.3
-4000	-17.5	1.5
-4000	-22.5	1.6
-4000	-27.5	1.5
-4000	-35	1.6
-4000	-45	1.8
-4000	-55	1.7
-4000	-65	1.8
-5000	-1.5	5.5
-5000	-2.5	2.9
-5000	-3.5	1.6
-5000	-4.5	1.1
-5000	-6.5	0.8
-5000	-8.5	0.9
-5000	-12.5	1.1
-5000	-17.5	1.4
-5000	-22.5	1.6
-5000	-27.5	1.7
-5000	-35	1.9
-5000	-45	2.1
-9000	-4.5	19.5
-9000	-6.5	11.9

station	depth	resistivity
-5000	-55	2.5
-5000	-65	2.6
-6000	-1.5	0.5
-6000	-2.5	0.5
-6000	-3.5	0.5
-6000	-4.5	0.5
-6000	-6.5	0.6
-6000	-8.5	0.6
-6000	-12.5	0.8
-6000	-17.5	1.1
-6000	-22.5	1.3
-6000	-27.5	1.4
-6000	-35	1.6
-6000	-45	1.9
-6000	-55	2.3
-6000	-65	2.4
-7000	-1.5	13.4
-7000	-2.5	4.9
-7000	-3.5	1.7
-7000	-4.5	1.4
-7000	-6.5	1.3
-7000	-8.5	2.4
-7000	-12.5	1.5
-7000	-17.5	1.7
-7000	-22.5	1.9
-7000	-27.5	2.1
-7000	-35	1.8
-7000	-45	3
-7000	-55	3.4
-7000	-65	4.8
-8000	-1.5	17.4
-8000	-2.5	11.3
-8000	-3.5	7.6
-8000	-4.5	4.1
-8000	-6.5	2.4
-8000	-8.5	2
-8000	-12.5	1.7
-8000	-17.5	1.6
-8000	-22.5	2
-8000	-27.5	1.8
-8000	-35	1.8
-9000	-27.5	3.5
-9000	-35	3.5

station	depth	resistivity
-8000	-65	4.8
-9000	-1.5	15.7
-9000	-2.5	16.1
-9000	-3.5	23.9

station	depth	resistivity
-9000	-8.5	8.1
-9000	-12.5	4.2
-9000	-17.5	3.7
-9000	-22.5	3.8

station	depth	resistivity
-9000	-45	3
-9000	-55	4.3
-9000	-65	6.1

#### ۵) اطلاعات سوند ازهای الکتریک ۶۰ متری در جنوب تالاب

station	depth	resistivity
0	-1.5	2
0	-2.5	1
0	-3.5	0.7
0	-4.5	0.7
0	-5.5	0.6
0	-7	0.5
0	-8.5	0.5
0	-10.5	0.4
0	-12.5	0.4
0	-14.5	0.5
0	-16.5	0.4
0	-19	0.5
0	-22	0.5
0	-25	0.5
60	-1.5	2.7
60	-2.5	1.5
60	-3.5	1
60	-4.5	0.8
60	-5.5	0.7
60	-7	0.6
60	-8.5	0.5
60	-10.5	0.5
60	-12.5	0.4
60	-14.5	0.5
60	-16.5	0.4
60	-19	0.5
60	-22	0.5
120	-25	0.4
120	-1.5	2.7
120	-2.5	1.1
120	-3.5	0.6
120	-4.5	0.5
120	-5.5	0.5
120	-7	0.5
420	-5.5	0.5
420	-7	0.4
420	-8.5	0.4
480	-10.5	0.4

station	depth	resistivity
120	-8.5	0.5
120	-10.5	0.5
120	-12.5	0.5
120	-14.5	0.5
120	-16.5	0.5
120	-19	0.5
180	-22	0.6
180	-25	0.4
180	-1.5	2.2
180	-2.5	0.9
180	-3.5	0.6
180	-4.5	0.6
180	-5.5	0.6
180	-7	0.5
180	-8.5	0.5
180	-10.5	0.5
180	-12.5	0.5
180	-14.5	0.5
180	-16.5	0.5
240	-19	0.5
240	-22	0.6
240	-25	0.4
240	-1.5	2.5
240	-2.5	1.5
240	-3.5	0.9
240	-4.5	0.6
240	-5.5	0.7
240	-7	0.4
240	-8.5	0.4
240	-10.5	0.4
240	-12.5	0.4
300	-16.5	0.4
300	-19	0.5
480	-12.5	0.4
480	-14.5	0.4
480	-16.5	0.4
480	-19	0.5

station	depth	resistivity
300	-22	0.5
300	-25	0.4
300	-1.5	1.2
300	-2.5	0.5
300	-3.5	0.4
300	-4.5	0.4
300	-5.5	0.4
300	-7	0.4
300	-8.5	0.4
300	-10.5	0.4
300	-12.5	0.4
360	-14.5	0.3
360	-16.5	0.3
360	-19	0.3
360	-22	0.5
360	-25	0.4
360	-1.5	3
360	-2.5	1
360	-3.5	0.5
360	-4.5	0.4
360	-5.5	0.5
360	-7	0.4
360	-8.5	0.4
360	-10.5	0.4
420	-12.5	0.4
420	-14.5	0.4
420	-16.5	0.4
420	-19	0.5
420	-22	0.4
420	-25	0.4
420	-1.5	1.1
420	-2.5	0.7
420	-3.5	0.5
420	-4.5	0.4
480	-22	0.5
480	-25	0.4

و) اطلاعات و نر در محدوده حاوی گچ

X-location	Z-location	Resistivity
-61.25	-1.04	0.377
-58.75	-1.04	0.306
-56.25	-1.04	0.264
-53.75	-1.04	0.278
-51.25	-1.04	0.301
-48.75	-1.04	0.316
-46.25	-1.04	0.278
-43.75	-1.04	0.297
-41.25	-1.04	0.278
-38.75	-1.04	0.325
-36.25	-1.04	0.283
-33.75	-1.04	0.386
-31.25	-1.04	0.41
-28.75	-1.04	0.471
-26.25	-1.04	0.358
-23.75	-1.04	0.344
-21.25	-1.04	0.301
-18.75	-1.04	0.278
-16.25	-1.04	0.259
-13.75	-1.04	0.292
-11.25	-1.04	0.349
-8.75	-1.04	0.311
-6.25	-1.04	0.306
-3.75	-1.04	0.334
-1.25	-1.04	0.523
1.25	-1.04	0.438
3.75	-1.04	0.301
6.25	-1.04	0.301
8.75	-1.04	0.372
11.25	-1.04	0.339
13.75	-1.04	0.283
16.25	-1.04	0.292
18.75	-1.04	0.316
21.25	-1.04	0.259
23.75	-1.04	0.278
26.25	-1.04	0.311
28.75	-1.04	0.221
31.25	-1.04	0.848
33.75	-1.04	0.297
36.25	-1.04	0.283
-60	-1.743	0.32
-57.5	-1.743	0.339
-55	-1.743	0.245
-52.5	-1.743	0.264
-50	-1.743	0.301

X-location	Z-location	Resistivity
-27.5	-1.743	0.283
-25	-1.743	0.226
-22.5	-1.743	0.377
-20	-1.743	0.339
-17.5	-1.743	0.226
-15	-1.743	0.301
-12.5	-1.743	0.207
-10	-1.743	0.301
-7.5	-1.743	0.283
-5	-1.743	0.245
-2.5	-1.743	0.301
0	-1.743	0.264
2.5	-1.743	0.245
5	-1.743	0.245
7.5	-1.743	0.245
10	-1.743	0.301
12.5	-1.743	0.264
15	-1.743	0.264
17.5	-1.743	0.283
20	-1.743	0.245
22.5	-1.743	0.245
25	-1.743	0.339
27.5	-1.743	0.188
30	-1.743	0.188
32.5	-1.743	0.716
35	-1.743	0.264
-57.5	-2.08	0.127
-52.5	-2.08	0.155
-47.5	-2.08	0.122
-42.5	-2.08	0.151
-37.5	-2.08	0.137
-32.5	-2.08	0.174
-27.5	-2.08	0.137
-22.5	-2.08	0.221
-17.5	-2.08	0.141
-12.5	-2.08	0.137
-7.5	-2.08	0.127
-2.5	-2.08	0.146
2.5	-2.08	0.127
7.5	-2.08	0.127
12.5	-2.08	0.132
17.5	-2.08	0.137
22.5	-2.08	0.141
27.5	-2.08	0.108
32.5	-2.08	0.245

X-location	Z-location	Resistivity
28.75	-2.783	0.155
33.75	-2.783	0.206
-55	-3.485	0.151
-50	-3.485	0.132
-45	-3.485	0.151
-40	-3.485	0.151
-35	-3.485	0.132
-30	-3.485	0.132
-25	-3.485	0.132
-20	-3.485	0.17
-15	-3.485	0.188
-10	-3.485	0.132
-5	-3.485	0.132
0	-3.485	0.132
5	-3.485	0.132
10	-3.485	0.17
15	-3.485	0.132
20	-3.485	0.151
25	-3.485	0.132
30	-3.485	0.113
35	-3.485	0.188
16.25	-4.148	0.124
21.25	-4.148	0.155
26.25	-4.148	0.155
31.25	-4.148	0.155
36.25	-4.148	0.247
-50	-4.16	0.071
-45	-4.16	0.075
-40	-4.16	0.08
-35	-4.16	0.066
-30	-4.16	0.066
-25	-4.16	0.071
-20	-4.16	0.075
-15	-4.16	0.08
-10	-4.16	0.08
-5	-4.16	0.075
0	-4.16	0.08
5	-4.16	0.094
10	-4.16	0.089
15	-4.16	0.089
20	-4.16	0.08
25	-4.16	0.071
30	-4.16	0.066
17.5	-4.81	0.188
22.5	-4.81	0.141

X-location	Z-location	Resistivity
-47.5	-1.743	0.283
-45	-1.743	0.283
-42.5	-1.743	0.245
-40	-1.743	0.283
-37.5	-1.743	0.283
-35	-1.743	0.32
-32.5	-1.743	0.377
-30	-1.743	0.414

X-location	Z-location	Resistivity
-58.75	-2.405	0.235
-56.25	-2.405	0.283
-53.75	-2.405	0.235
-51.25	-2.405	0.283
-48.75	-2.405	0.283
13.75	-2.783	0.134
18.75	-2.783	0.113
23.75	-2.783	0.185

X-location	Z-location	Resistivity
27.5	-4.81	0.141
32.5	-4.81	0.141
37.5	-4.81	0.235
-37.5	-6.24	0.057
-27.5	-6.24	0.057
-17.5	-6.24	0.057
-7.5	-6.24	0.057
2.5	-6.24	0.061
12.5	-6.24	0.057
22.5	-6.24	0.047

#### ز) اطلاعات و نرود را بستگاه کیلومتر ۷

X-location	Z-location	Resistivity
-46.25	-1.04	17.33
-43.75	-1.04	27.69
-41.25	-1.04	15.45
-38.75	-1.04	22.94
-36.25	-1.04	11.92
-33.75	-1.04	24.44
-31.25	-1.04	19.08
-28.75	-1.04	12.58
-26.25	-1.04	14.7
-23.75	-1.04	26.42
-21.25	-1.04	8.53
-18.75	-1.04	18.46
-16.25	-1.04	19.12
-13.75	-1.04	18.56
-11.25	-1.04	24.63
-8.75	-1.04	14.98
-6.25	-1.04	12.06
-3.75	-1.04	16.49
-1.25	-1.04	15.54
1.25	-1.04	13.33
3.75	-1.04	5.6
6.25	-1.04	19.55
8.75	-1.04	10.74
11.25	-1.04	13.66
13.75	-1.04	12.06
16.25	-1.04	33.02
18.75	-1.04	15.83
21.25	-1.04	27.55
23.75	-1.04	23.93
26.25	-1.04	14.51
28.75	-1.04	13.33
31.25	-1.04	21.67
33.75	-1.04	10.88

X-location	Z-location	Resistivity
36.25	-1.04	16.77
38.75	-1.04	13.89
41.25	-1.04	10.41
43.75	-1.04	40.93
46.25	-1.04	23.6
-42.5	-2.08	2.59
-37.5	-2.08	1.7
-32.5	-2.08	1.95
-27.5	-2.08	1.55
-22.5	-2.08	1.5
-17.5	-2.08	2.16
-12.5	-2.08	3.92
-7.5	-2.08	1.68
-2.5	-2.08	1.79
2.5	-2.08	1.47
7.5	-2.08	2.17
12.5	-2.08	1.43
17.5	-2.08	1.32
22.5	-2.08	1.15
27.5	-2.08	1.3
32.5	-2.08	1.39
37.5	-2.08	1.54
42.5	-2.08	0.48
-35	-4.16	1.06
-25	-4.16	1.06
-15	-4.16	1.26
-5	-4.16	1.02
5	-4.16	1.07
15	-4.16	0.94
25	-4.16	1.07
35	-4.16	1.13
-20	-8.32	1.28
0	-8.32	1.28

## ح) اطلاعات و نردر محدوده قرارگیری چوب قدیمی

X-location	Z-location	Resistivity
-46.25	-1.04	1.02
-43.75	-1.04	1.35
-41.25	-1.04	1.75
-38.75	-1.04	2.29
-36.25	-1.04	1.87
-33.75	-1.04	1.28
-31.25	-1.04	2.07
-28.75	-1.04	1.88
-26.25	-1.04	1.78
-23.75	-1.04	1.51
-21.25	-1.04	1.63
-18.75	-1.04	1.69
-16.25	-1.04	1.38
-13.75	-1.04	1.5
-11.25	-1.04	1.12
-8.75	-1.04	0.91
-6.25	-1.04	0.53
-3.75	-1.04	0.76
-1.25	-1.04	2.52
1.25	-1.04	1.54
3.75	-1.04	1.35
6.25	-1.04	0.94
8.75	-1.04	0.97
11.25	-1.04	0.45
13.75	-1.04	0.59
16.25	-1.04	0.7
18.75	-1.04	0.94
21.25	-1.04	0.97
23.75	-1.04	0.95
26.25	-1.04	0.6
28.75	-1.04	0.83
31.25	-1.04	0.88
33.75	-1.04	0.61

X-location	Z-location	Resistivity
36.25	-1.04	1.01
38.75	-1.04	0.96
41.25	-1.04	1.19
43.75	-1.04	1.18
46.25	-1.04	1.11
-42.5	-2.08	0.64
-37.5	-2.08	0.78
-32.5	-2.08	0.73
-27.5	-2.08	0.96
-22.5	-2.08	0.81
-17.5	-2.08	0.6
-12.5	-2.08	0.5
-7.5	-2.08	0.29
-2.5	-2.08	0.56
2.5	-2.08	0.41
7.5	-2.08	0.41
12.5	-2.08	0.25
17.5	-2.08	0.29
22.5	-2.08	0.34
27.5	-2.08	0.37
32.5	-2.08	0.31
37.5	-2.08	0.36
42.5	-2.08	0.39
-35	-4.16	0.38
-25	-4.16	0.41
-15	-4.16	0.34
-5	-4.16	0.26
5	-4.16	0.32
15	-4.16	0.26
25	-4.16	0.36
35	-4.16	0.34
-20	-8.32	0.38
0	-8.32	0.38
20	-8.32	0.38